



COLLÈGE
DE FRANCE
— 1530 —

Chaire Innovation technologique
Liliane Bettencourt 2021-2022

Énergie solaire photovoltaïque et transition énergétique



Fondation
Bettencourt
Schueller

Reconnue d'utilité publique depuis 1987

Mercredi 23 février 2022

Les technologies couches minces (aSi, CdTe, CIGS, GaAs)

Daniel LINCOT

Procédés plasma à basse température pour le dépôt de
couches minces de silicium: de l'amorphe au cristallin

Pere ROCA I CABARROCAS

daniel.lincot@cnrs.fr

Sources de SiO₂



Quartz - Mine de La Gardette, Le Bourg-d'Oisans, Isère France (13 × 13 cm).

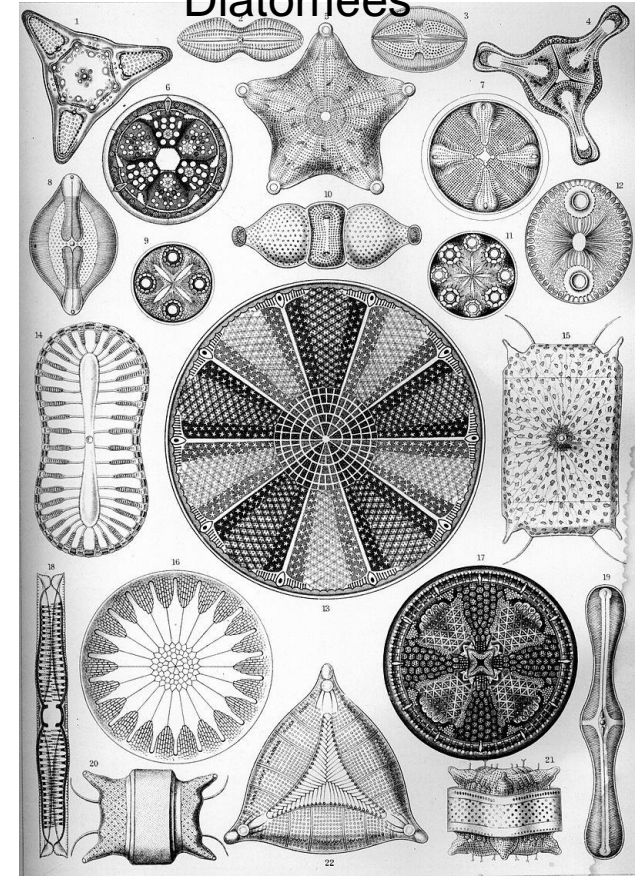


Grande mer de sable en Egypte (72 000 km²)

Phytoplancton

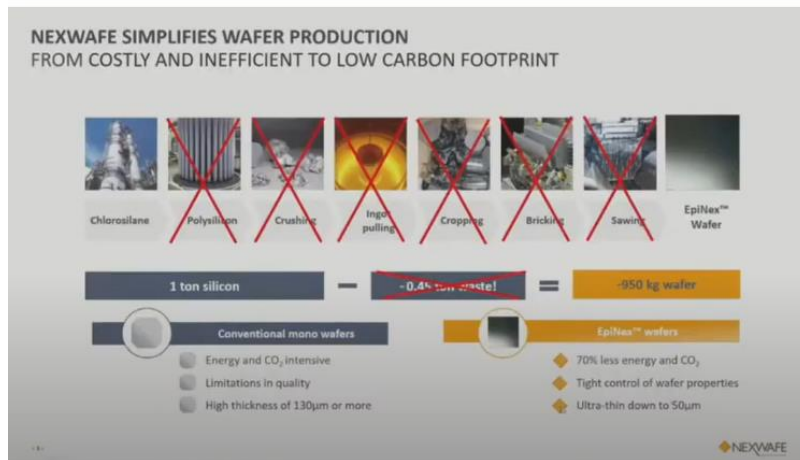
Voir : <https://www.college-de-france.fr/site/jacques-livage/inaugural-lecture-2002-01-17.htm>

Origine biologique
Diatomées



Technologies silicium sans sciage ?

A partir du trichlorosilane



Start up Nexwafe (Fraunhofer)
<https://www.nexwafe.com/epinex-process>

Coulage direct

Direct Wafer Manufacturing

The bedrock for a tandem device and the key to ultra-low-cost solar.

Direct Wafer technology manufactures silicon wafers the way they should have been made from day one: in one step, directly from a bath of molten silicon. The resulting product delivers the world's lowest cost of electricity today, offers a significant reduction in carbon footprint over conventional methods, and produces the ideal bottom cell for high-efficiency tandem modules.

Learn More >

<https://cubicpv.com/technology/>

Autres : tirage de rubans à partir de bains fondus...*

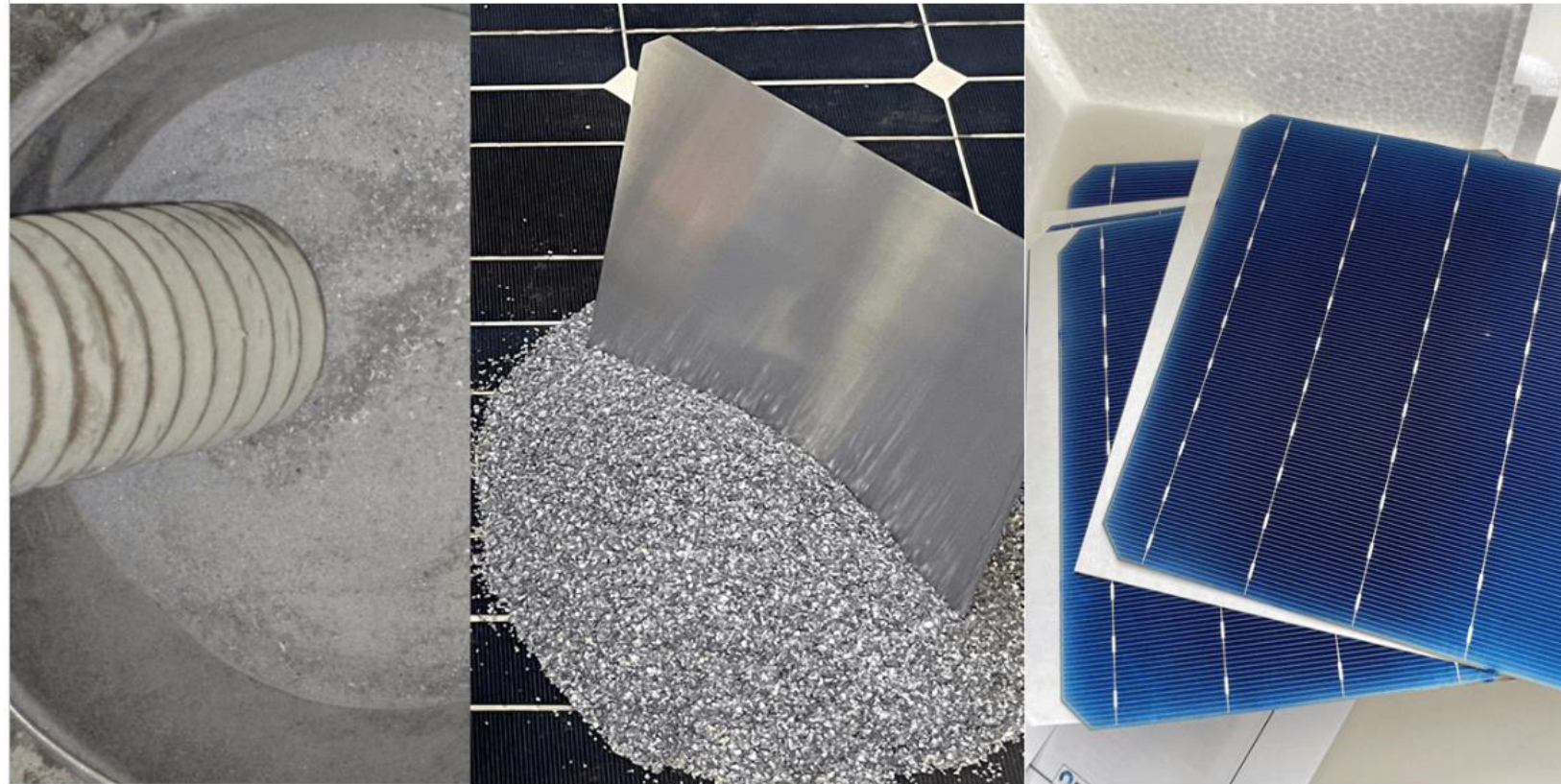
PRESS RELEASE

PRESS RELEASE

February 7, 2022 || Page 1 | 4

PERC Solar Cells from 100 Percent Recycled Silicon

Around ten thousand tons of silicon in discarded photovoltaic modules end up on the recycling market annually in Germany. This figure will rise to several hundred thousand tons per year by 2029. Currently, the aluminum, glass and copper of the discarded modules are reprocessed, however, the silicon solar cells are not. In order to be able to reuse the silicon, researchers from the Fraunhofer Center for Silicon Photovoltaics CSP and the Fraunhofer Institute for Solar Energy Systems ISE together with the largest German recycling company for PV modules, Reiling GmbH & Co. KG, have developed a solution, in which the silicon in the discarded modules was recycled on an industrial scale and reused to produce new PERC solar cells.



By-products of the treatment process at Reiling GmbH, from which the solar cell fragments are separated and collected (left). Purified silicon and wafers made from 100% recycled silicon (middle). PERC solar cells made

© Fraunhofer ISE

<https://www.ise.fraunhofer.de/en/press-media/press-releases/2022/solar-cells-from-recycled-silicon.html>



COLLÈGE
DE FRANCE
— 1530 —

Chaire Innovation technologique
Liliane Bettencourt 2021-2022

Énergie solaire photovoltaïque et transition énergétique



Fondation
Bettencourt
Schueller

Reconnue d'utilité publique depuis 1987

Mercredi 23 février 2022

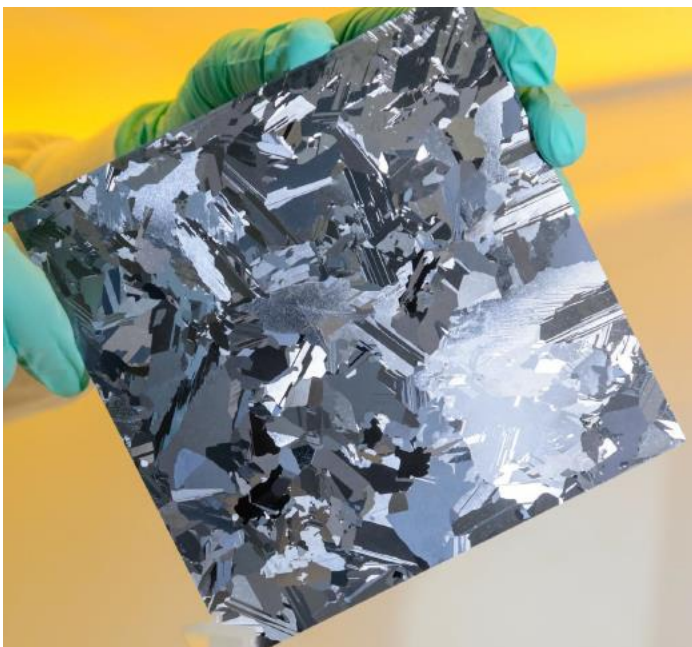
Les technologies couches minces (aSi, CdTe, CIGS, GaAs)

Daniel LINCOT

daniel.lincot@cnsr.fr
Daniel Lincot, Collège de France, 23/02/2022

Pourquoi des couches minces ?

- Plaquettes ou « Wafer » → Silicium cristallin : 100 -180 microns
- Couches minces : 0,5- 3 microns



→ Economie de matière
→ Procédés de fabrication
→ Interconnection
→ Légèreté, flexibilité
→ Nouveaux marchés

Conditions

→ Performances conservées
→ Maturité
→ Stabilité dans le temps
→ Différenciation marché
→ Coût



Critère différentiation produit

Module silicium amorphe monobloc (3-4 m²)



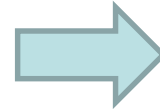
Module CIGS flexible (FLISOM)



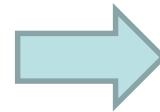
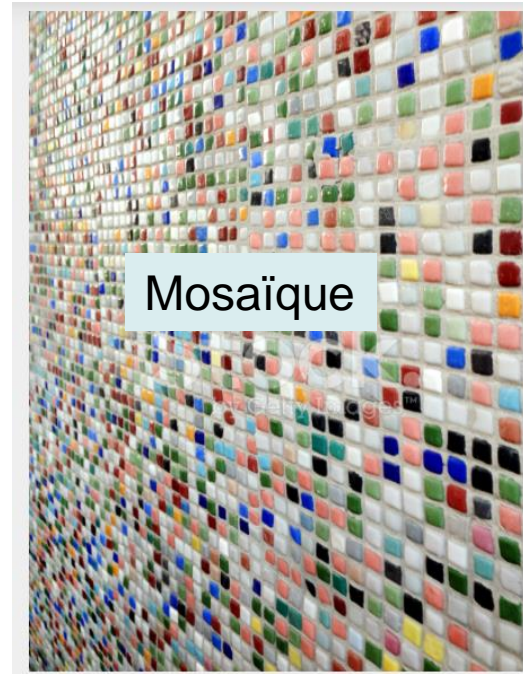
24th European PV Conference Valencia (2008) Photo J. Wanegue

Daniel Lincot, Collège de France, 23/02/2022

Passage de technologies de découpe à des technologies de revêtement



Propriétés
de volume



Propriétés
de surface

Sources : le bien public,
Archiexpo, web

Daniel Lincot, Collège de France, 23/02/2022

Exemple des technologies d'affichage

Technologie tubes cathodiques



Ecrans plats

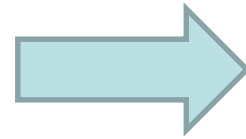
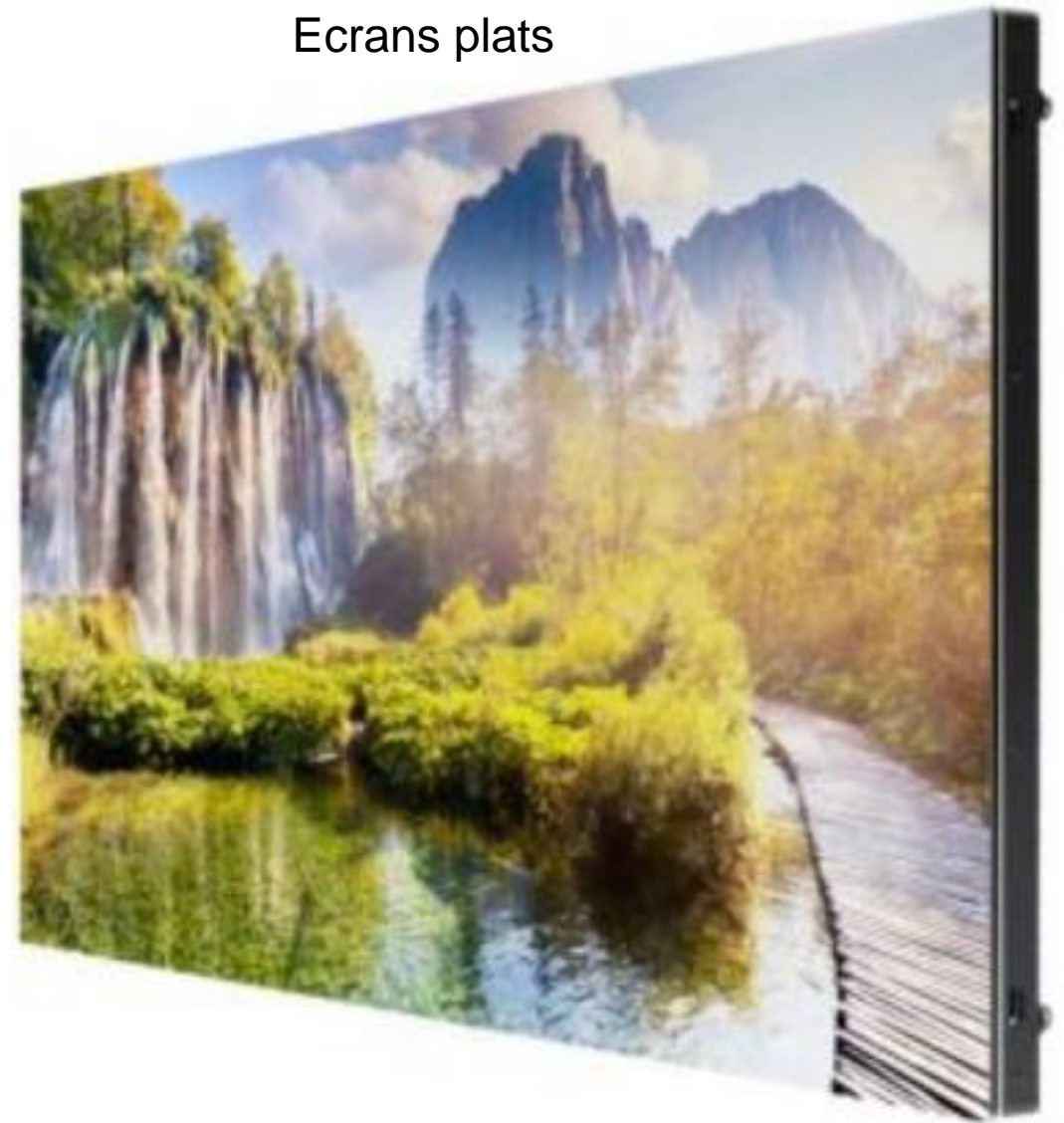
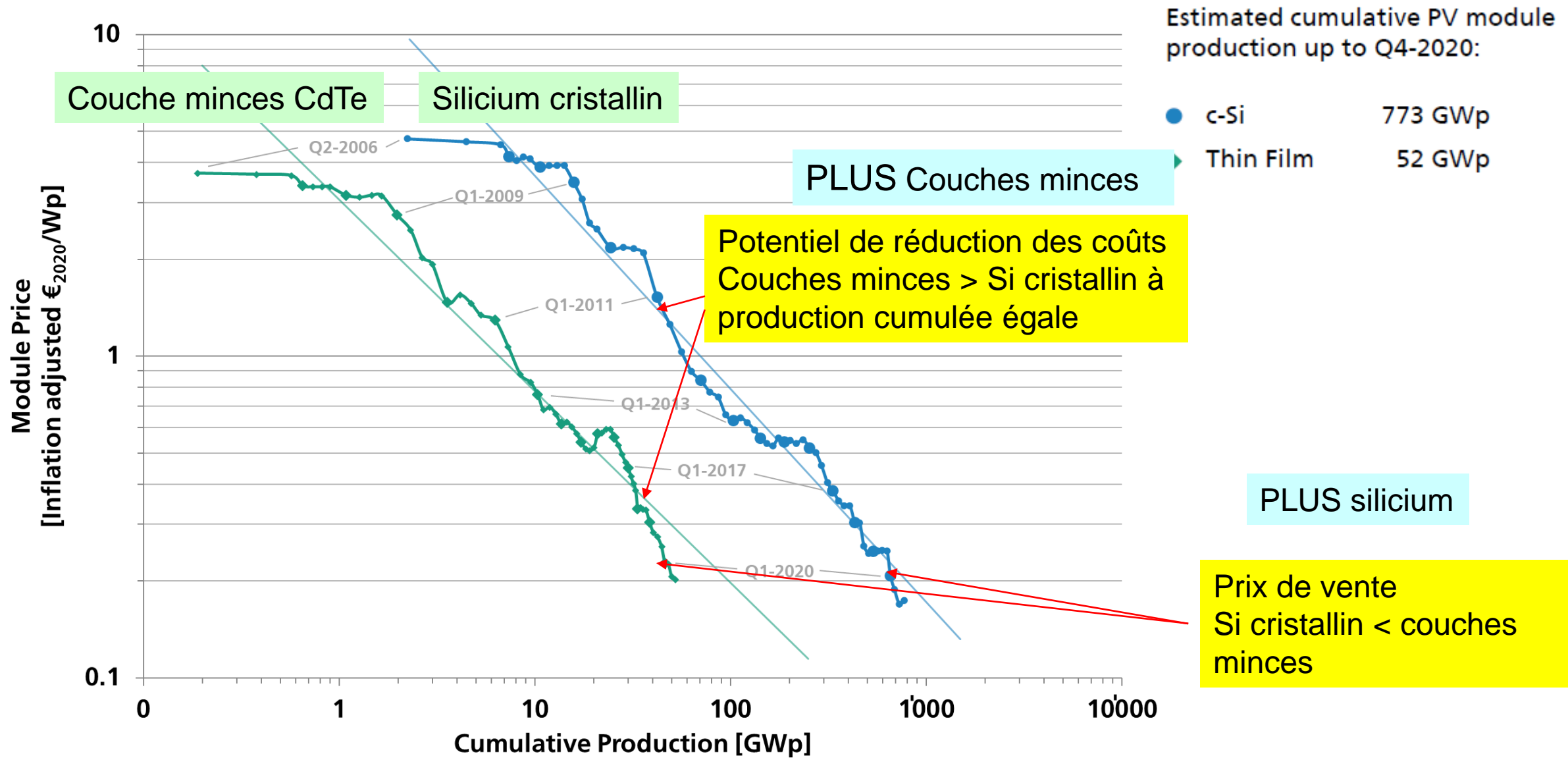


Illustration du paradigme coût-innovation technologique (effet lock in)



Critères des propriétés fondamentales

- Propriétés optiques
 - Bonne absorption de la lumière visible
 - Coefficients d'absorption élevés ou piégeage optique efficace
- Propriétés électriques
 - bonne passivation en volume et aux interfaces
 - jonctions ou hétérojonctions p-n (ou p-i-n) de qualité

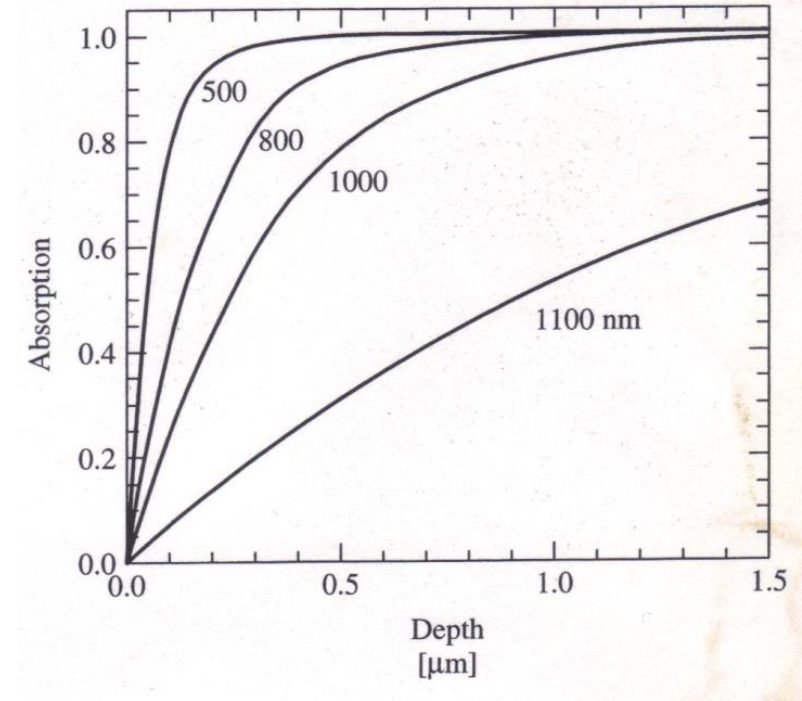
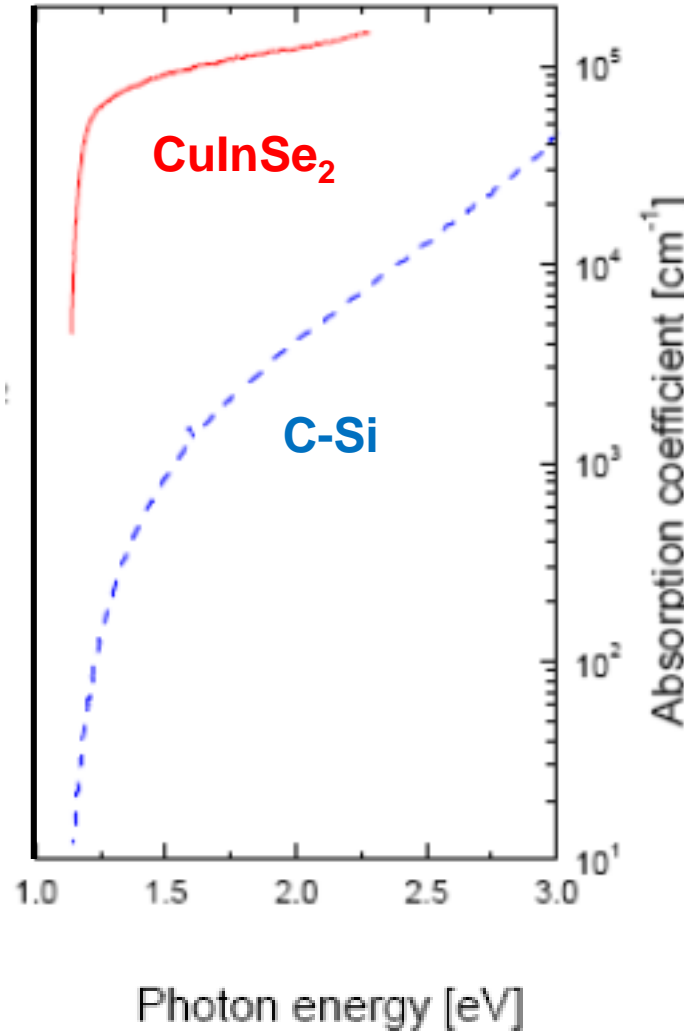
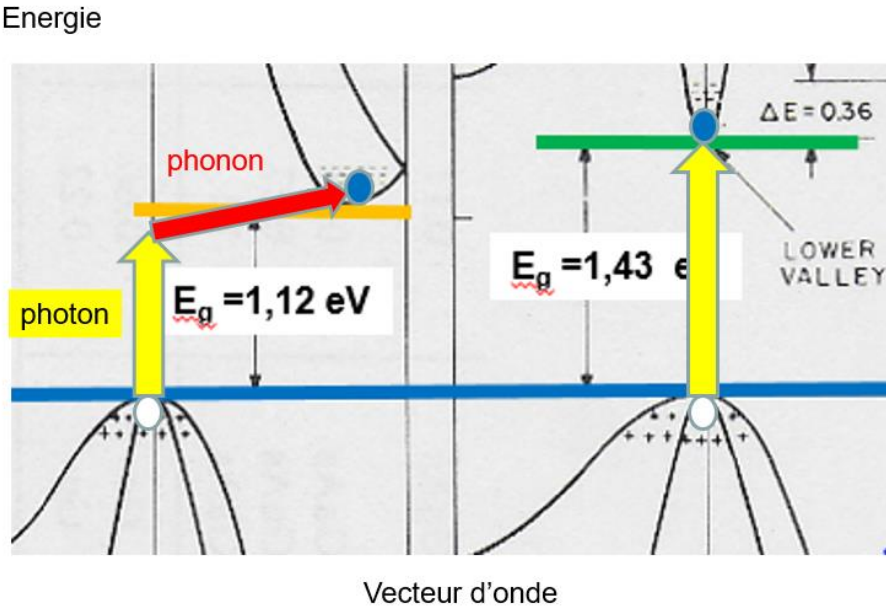
Propriétés optiques

Gap indirect (Si)

Gap direct (GaAs)

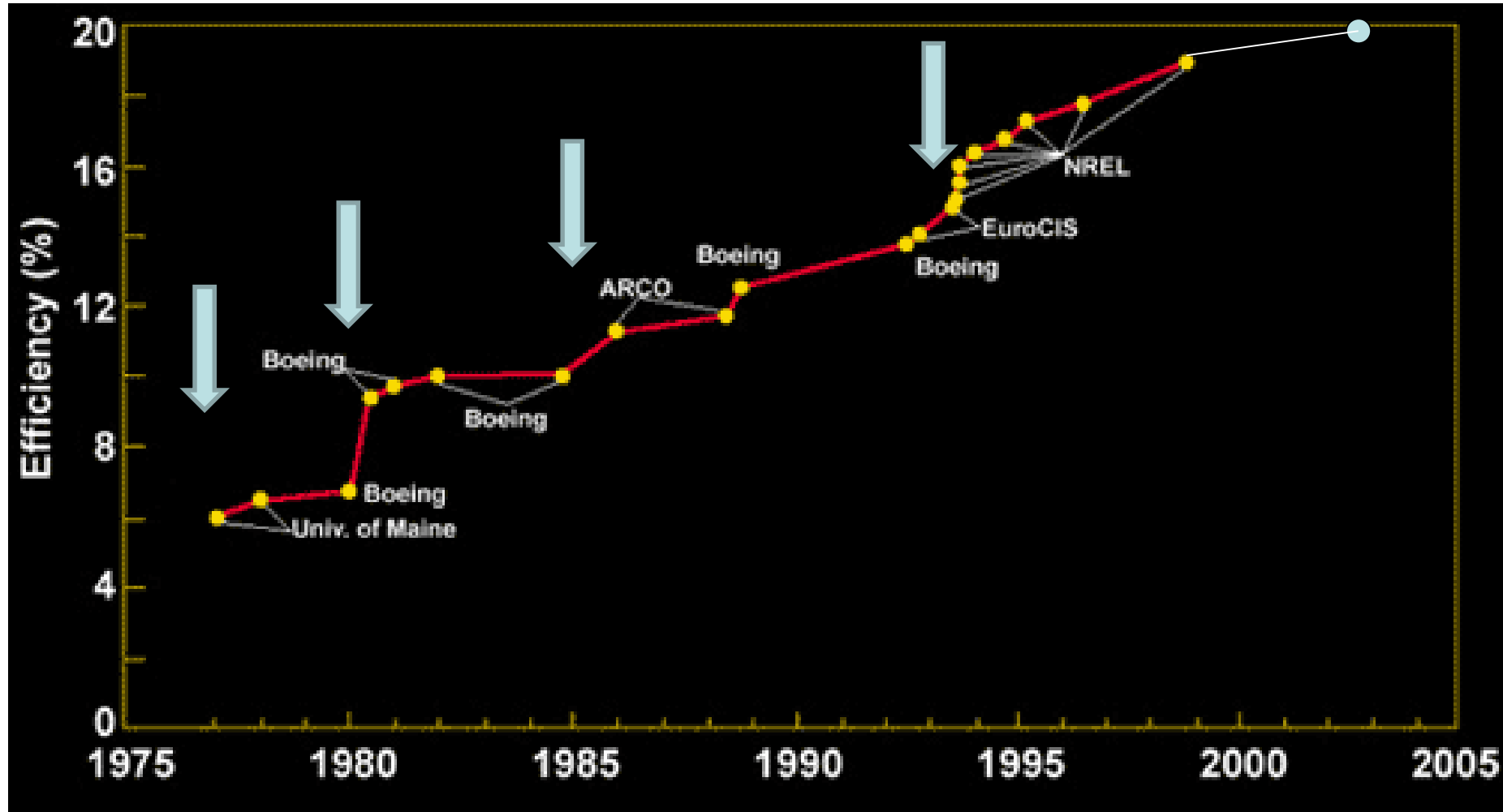
Coefficients d'absorption

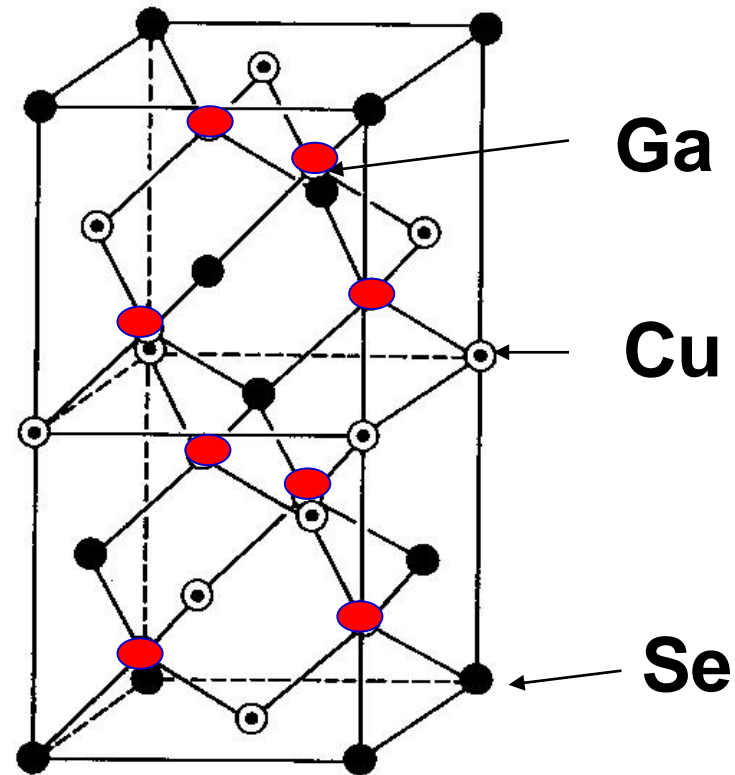
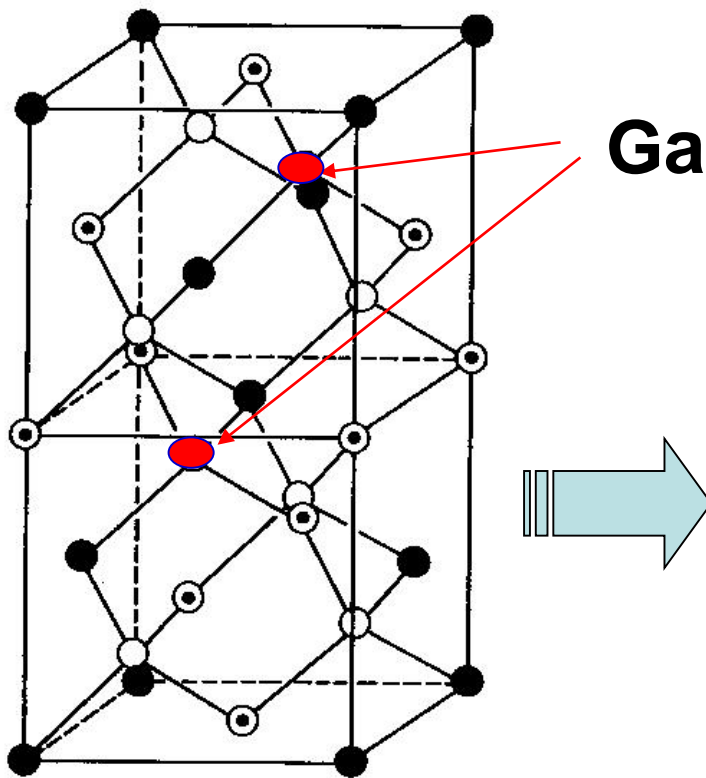
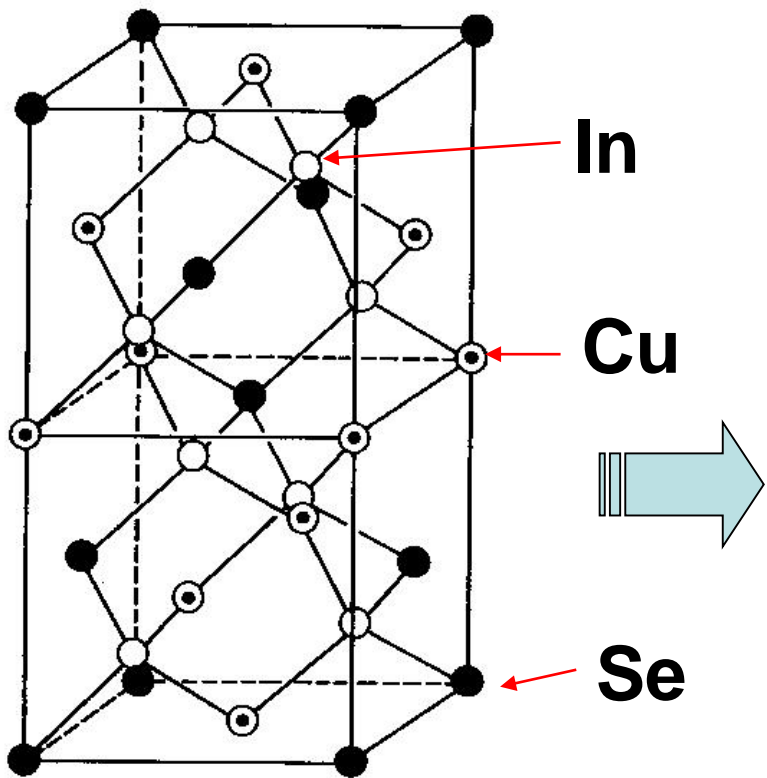
Profondeur de pénétration de la lumière
 $\text{CuIn}_{0,8}\text{Ga}_{0,2}\text{Se}_2$



La longue route de la technologie CIGS

2022 : 23,4%





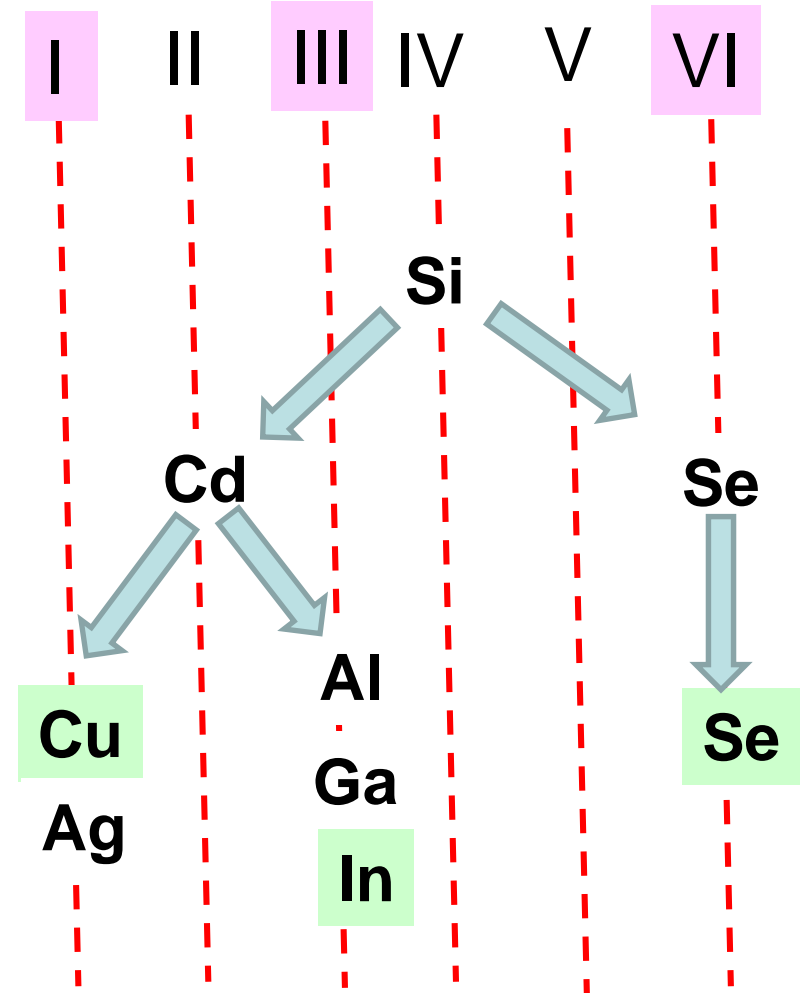
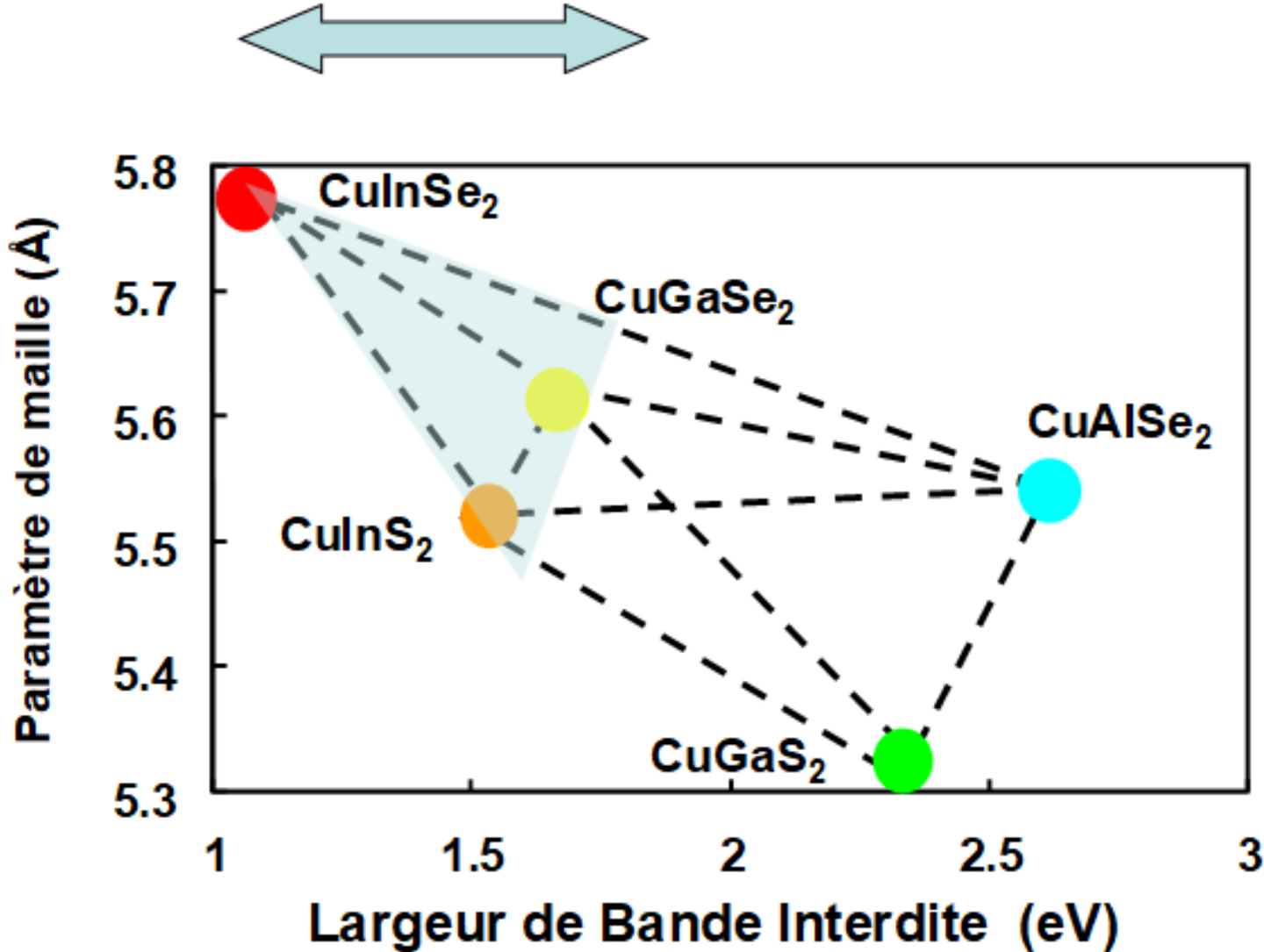
« **CIS** » 1 eV

« **CIGS** » 1,15 eV

« **CGS** » 1,7 eV

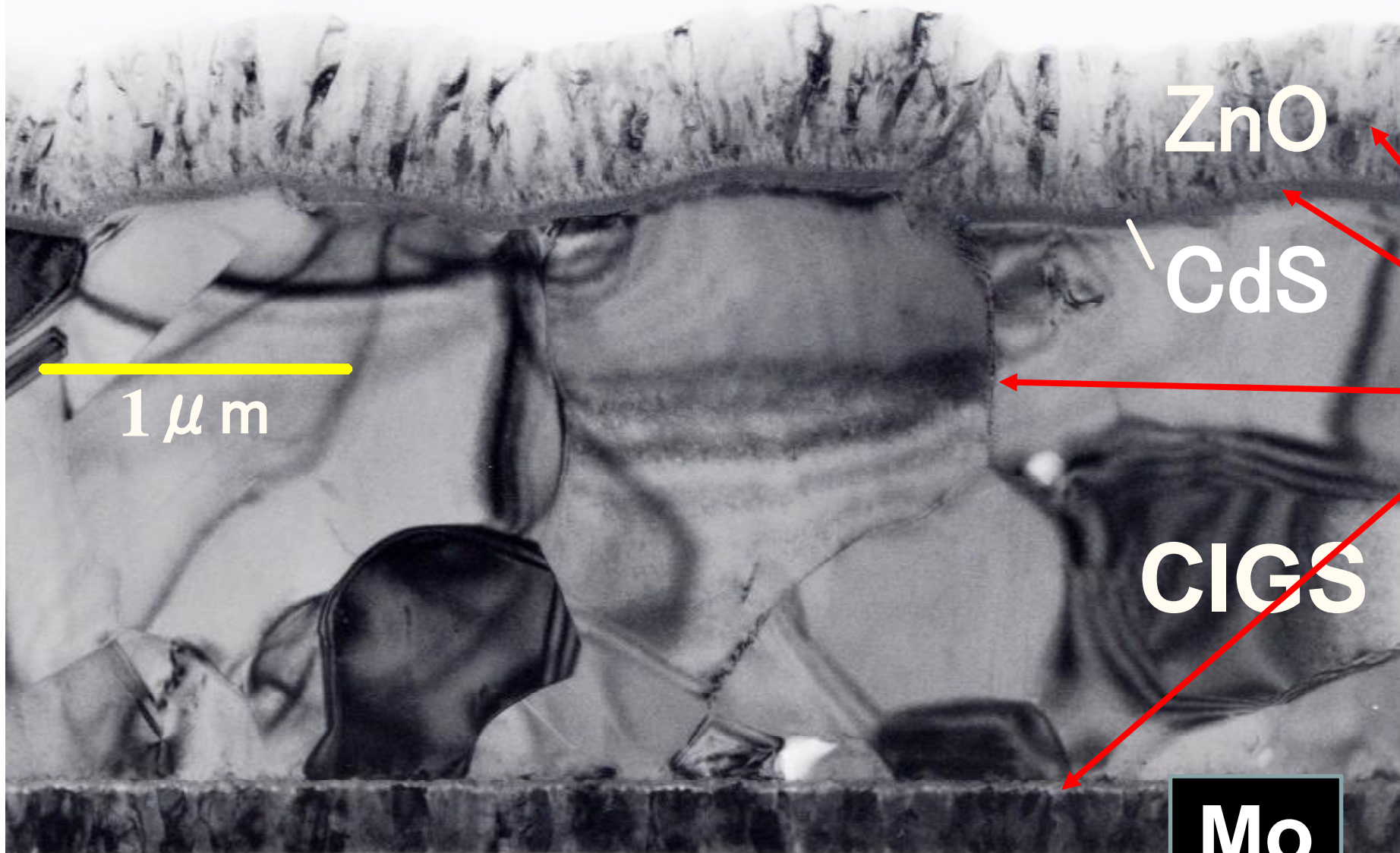
Et toute la famille « un-trois-six-deux » : $(\text{Cu,Ag})(\text{In,Ga,Al})(\text{S,Se,Te})_2$

→ Ingénierie de composition, bande interdite, paramètre de maille...



Les champions: $\text{Cu}(\text{In,Ga})\text{Se}_2$ $\text{Cu}(\text{In,Ga})(\text{S,Se})_2$

Propriétés électriques et structurales : coupe transverse cellules CIGS (>15% de rendement)



ZnO

CdS

CIGS

Mo

SLG

Des défauts structuraux à foison qui devraient condamner la cellule

- Microcristaux
- Nanocristaux
- Joints de grains
- Interfaces complexes

Et pourtant...

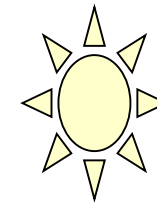
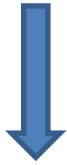
ça marche !



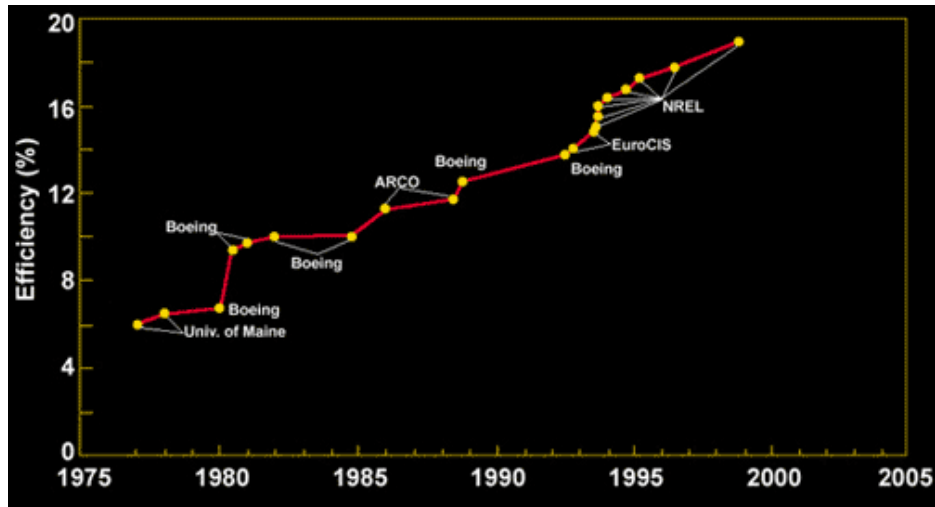
Propriétés de passivation
Structure électronique
Exceptionnelles

<1980

8%



Contacts

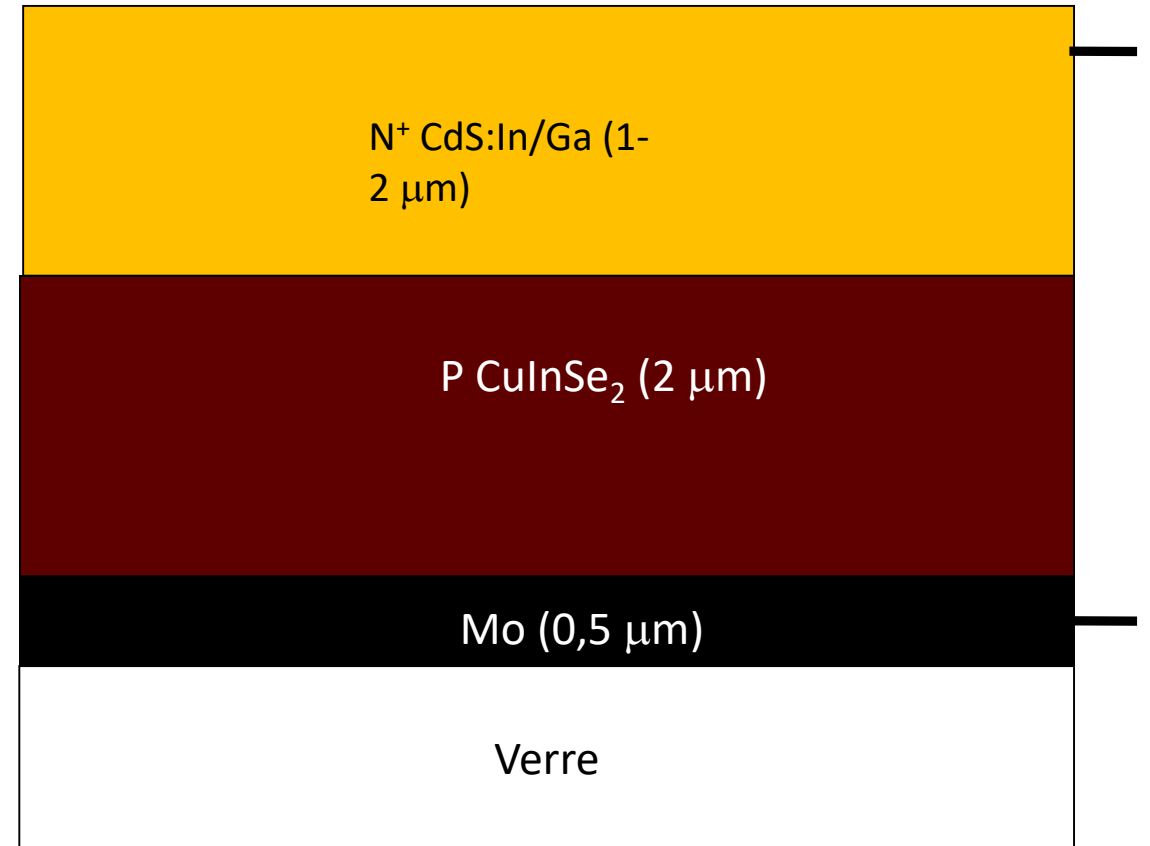


N type layer
Evaporation

P type layer
Evaporation

Back contact

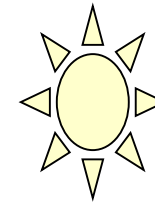
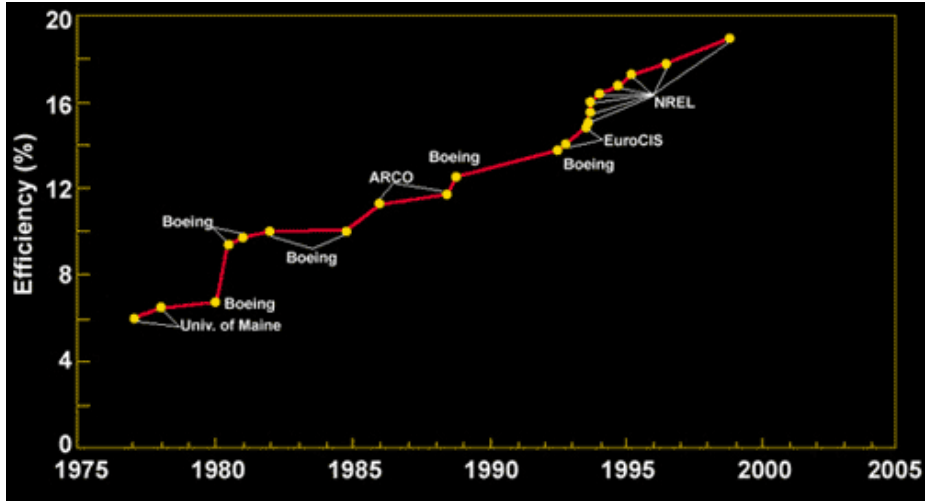
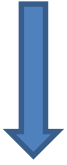
Substrate



Not to scale

1985

12%



Contacts

N type layer
Evaporation

N⁺
(Cd,Zn)S:In/Ga
(1-2 μm)

P type layer
Evaporation

P Cu(In,Ga)Se₂ (2 μm)

Back contact

Mo (0,5 μm)

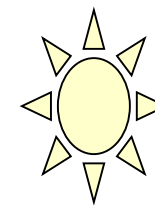
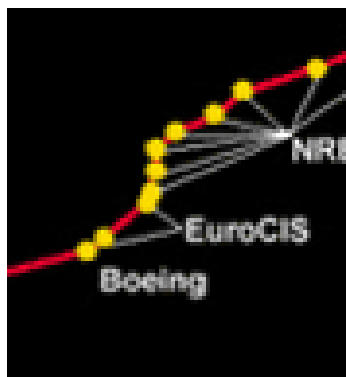
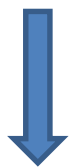
Substrate

Verre

Not to scale

Avancées majeures

1994 15%



Contacts

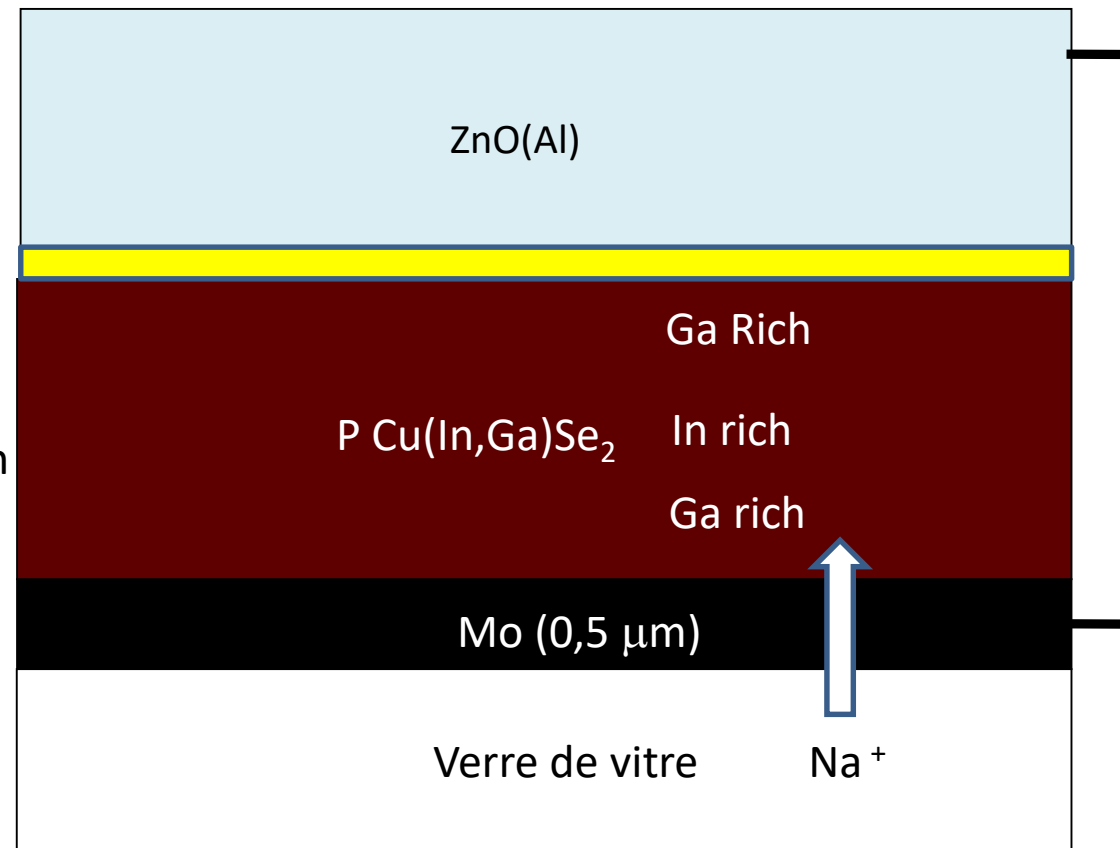
ZnO(Al)
By Sputtering

CdS by
Solution (CBD)

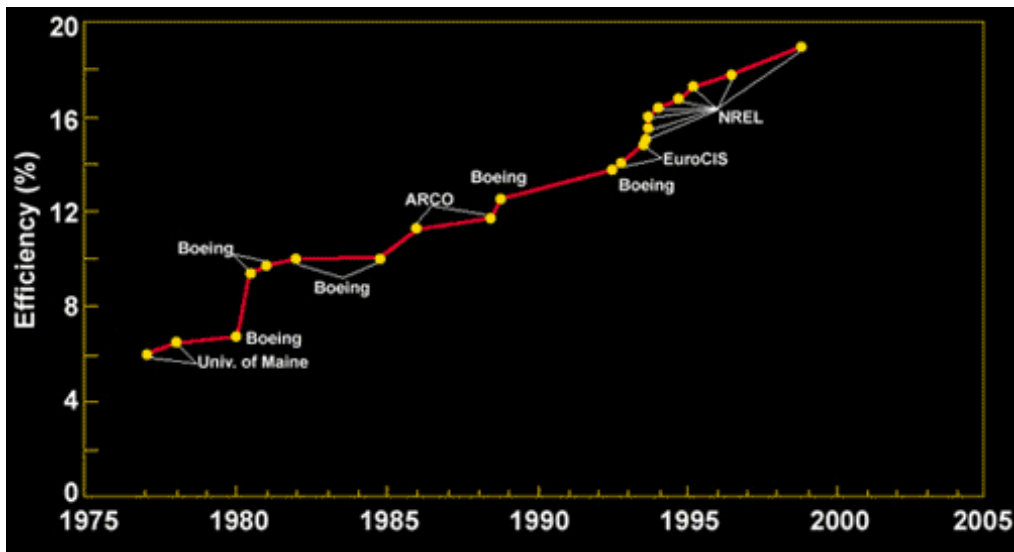
P type layer
By coEvaporation
3 stage process

Back contact

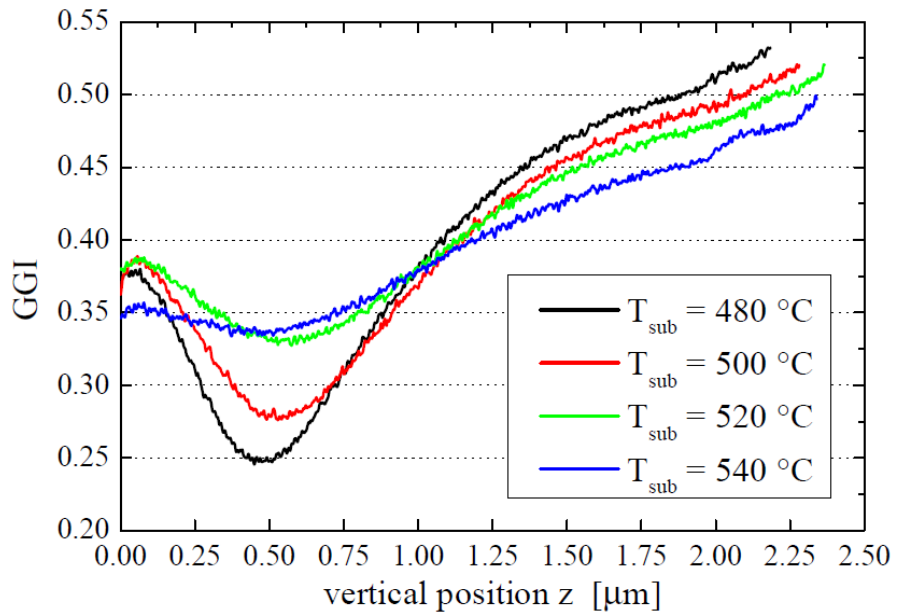
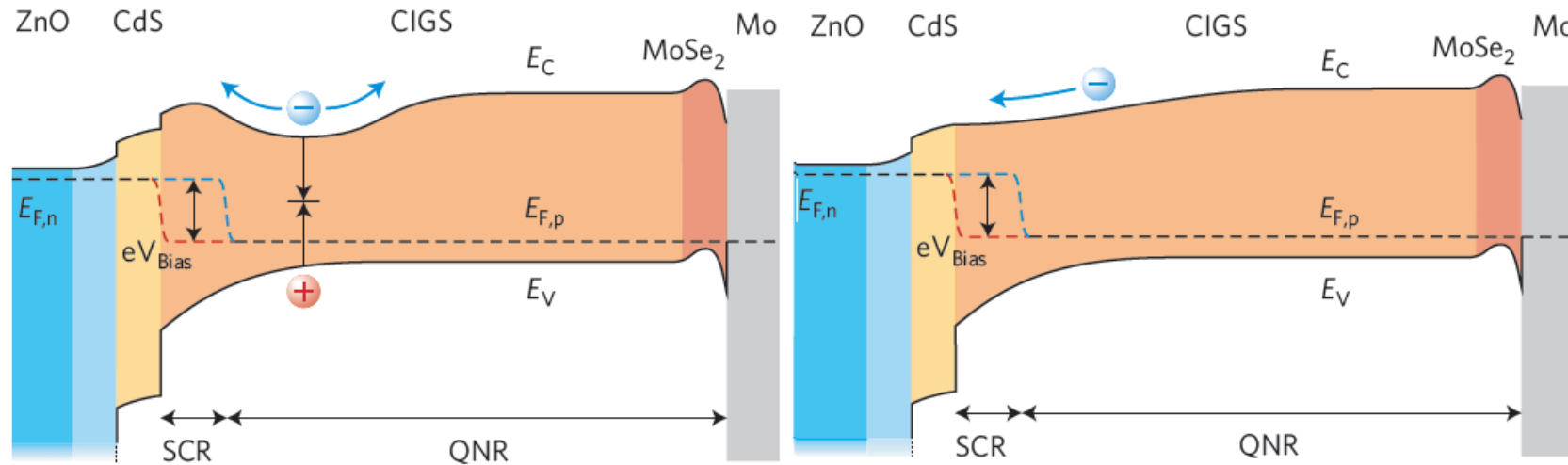
Substrate



Not to scale

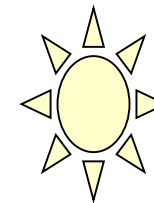


Optimisation des gradients de composition dans la couche de CIGS

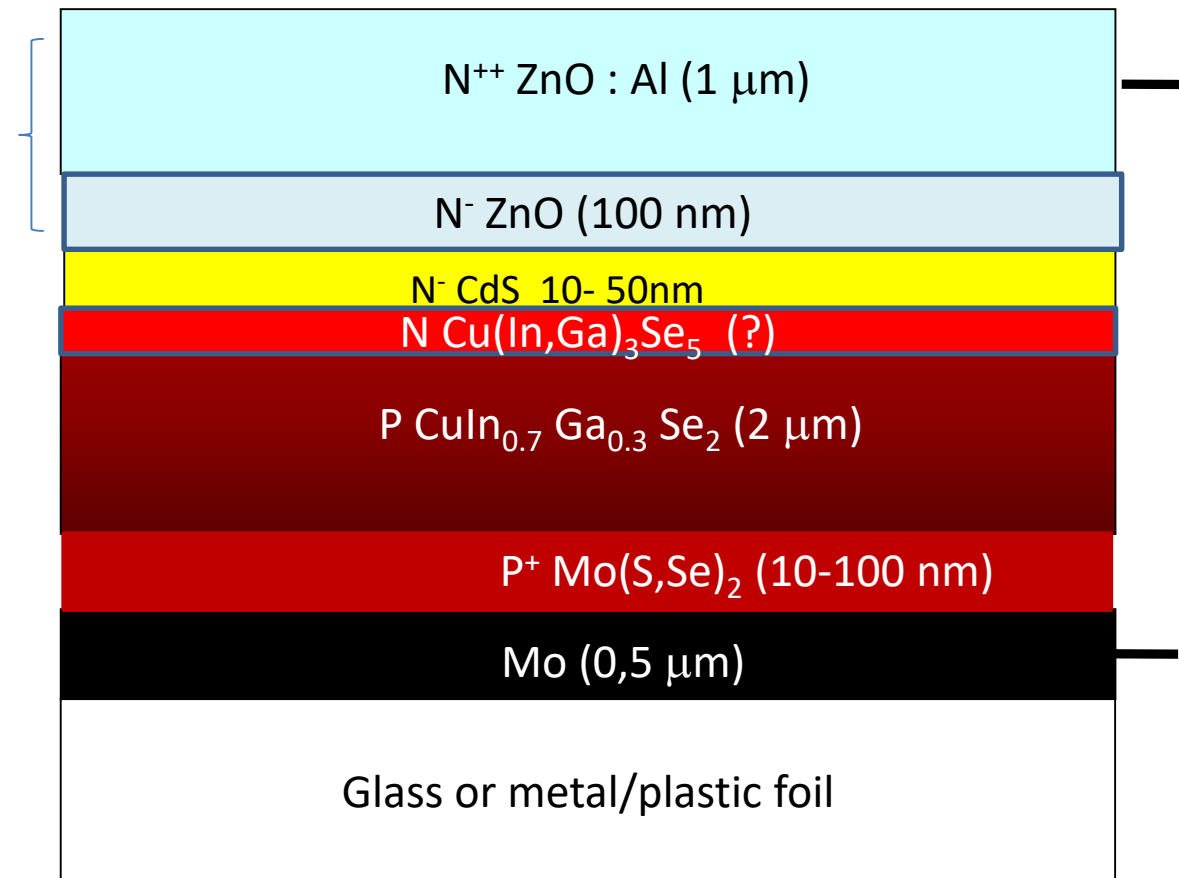


Corrélation avec le rendement de conversion

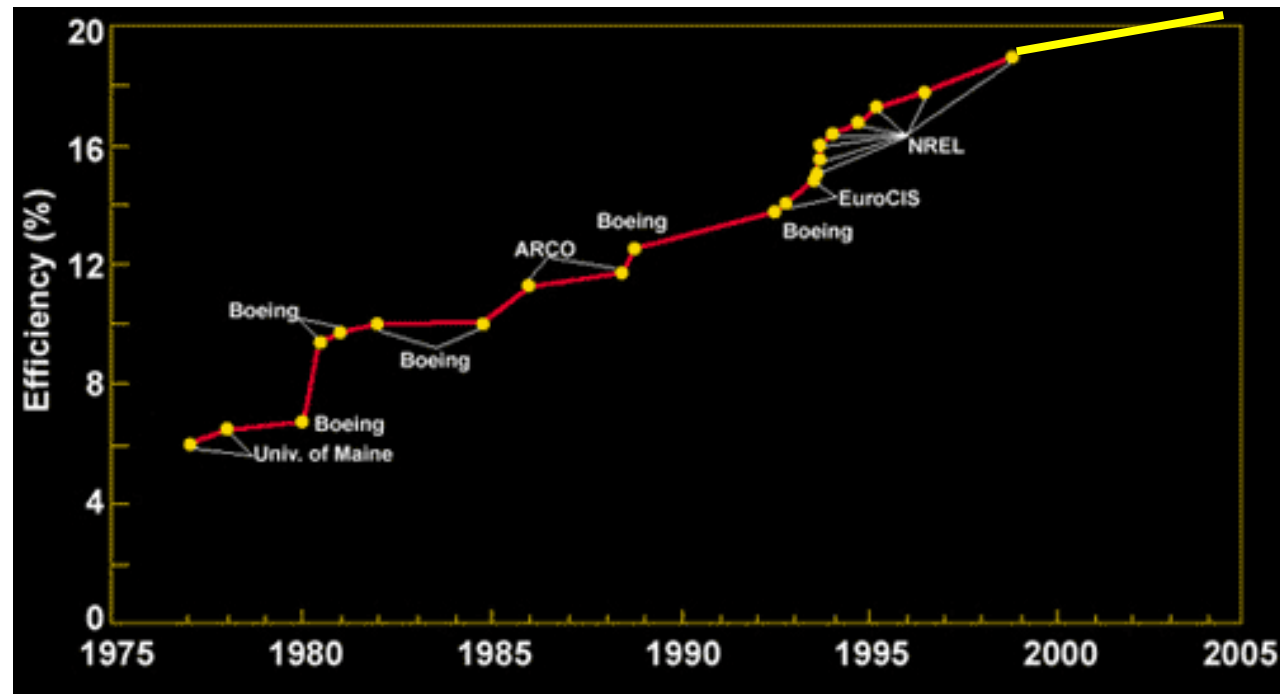
2010
19%



Contacts

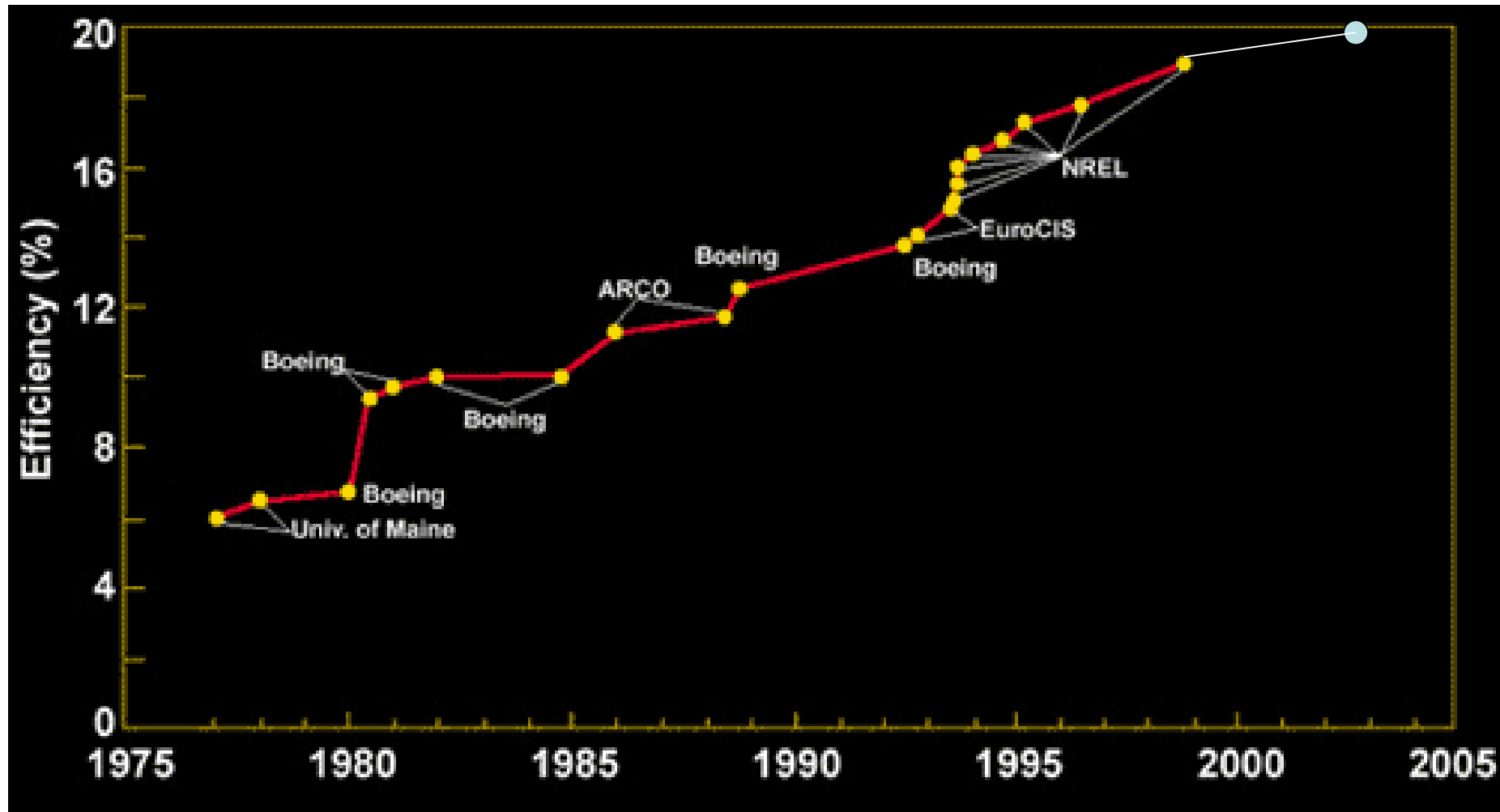


Not to scale



La longue route de la technologie CIGS

2021
23,35 %



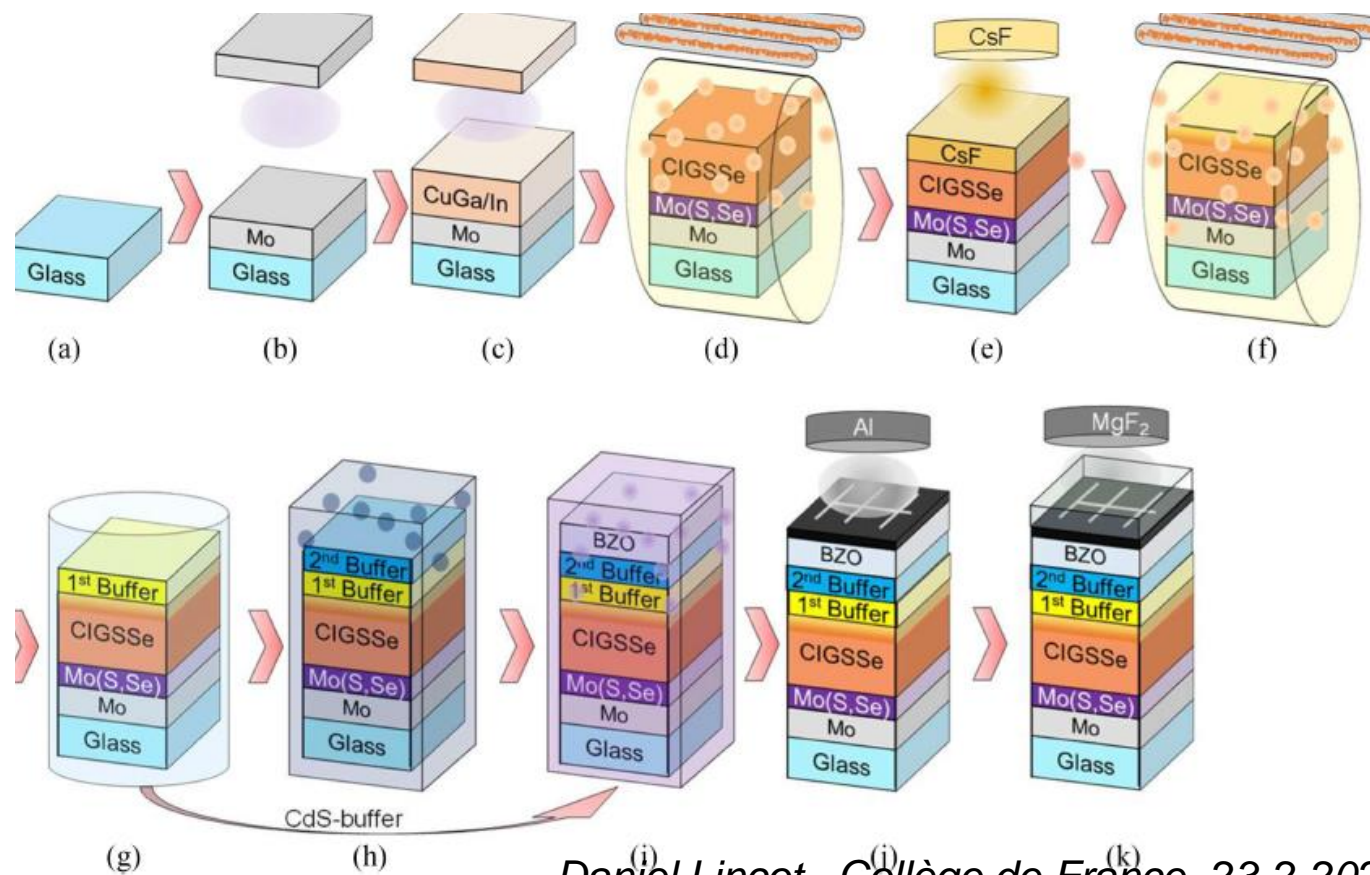
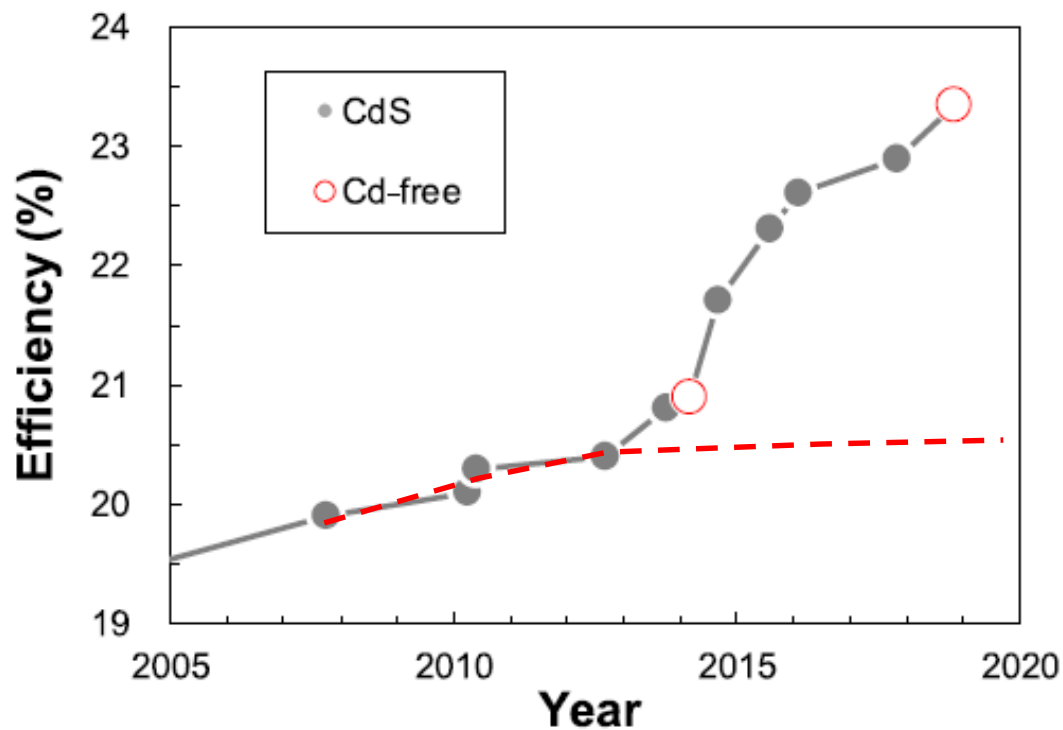
➤ 2015

- Ajout alcalins (K,Rb,Cs) en surface
- Remplacement CdS par Zn(O,S) par CBD

Cd-Free Cu(In,Ga)(Se,S)₂ Thin-Film Solar Cell With Record Efficiency of 23.35%

Motoshi Nakamura¹, Koji Yamaguchi, Yoshinori Kimoto, Yusuke Yasaki, Takuya Kato², and Hiroki Sugimoto³

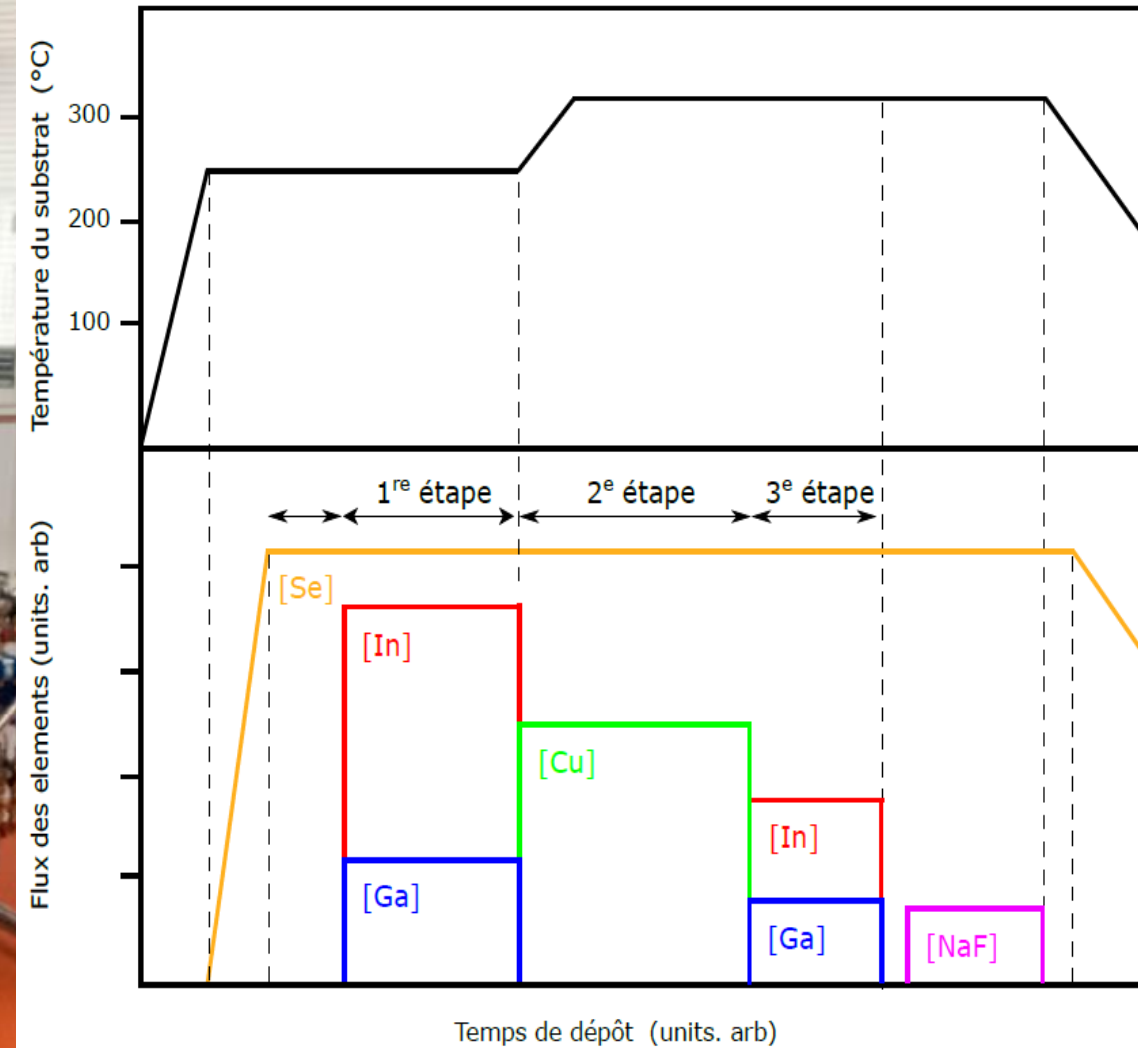
Year	Buffer	Efficiency (%)	V _{oc} (mV)	J _{sc} (mA/cm ²)	FF (%)	E _g (eV)	V _{oc,def} (mV)	Test Center
2017	CdS	22.92	746	38.5	79.7	1.13	384	AIST
2019	Zn(O,S,OH) _x /Zn _{0.8} Mg _{0.2} O	23.35	734	39.6	80.4	1.08	350	AIST



Coévaporation sous ultravide : la méthode « Ferrari »

Sources Cu,In,Ga,Se, NaF,KF... → évaporation thermique (300-1500°C) → dépôt sur verre/Mo (550°C)

Grand contrôle, haute pureté, analogue à l'épitaxie par jets moléculaires (EJM,MBE)

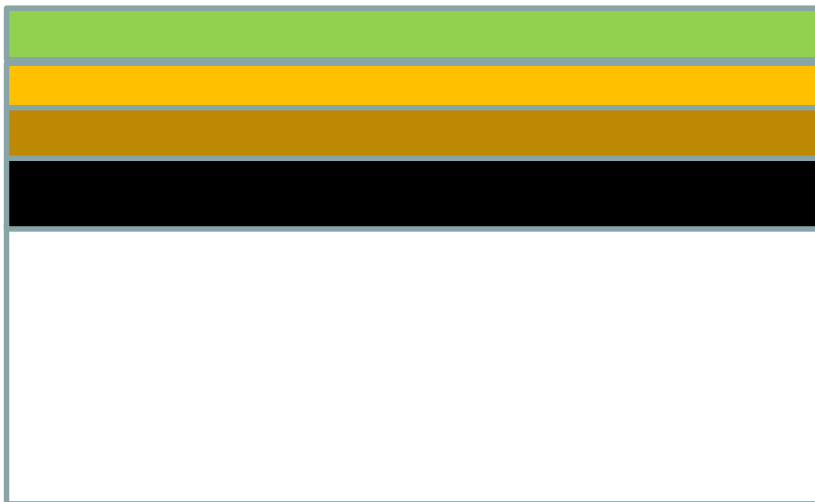


Méthode en deux étapes : procédé « Pizza »

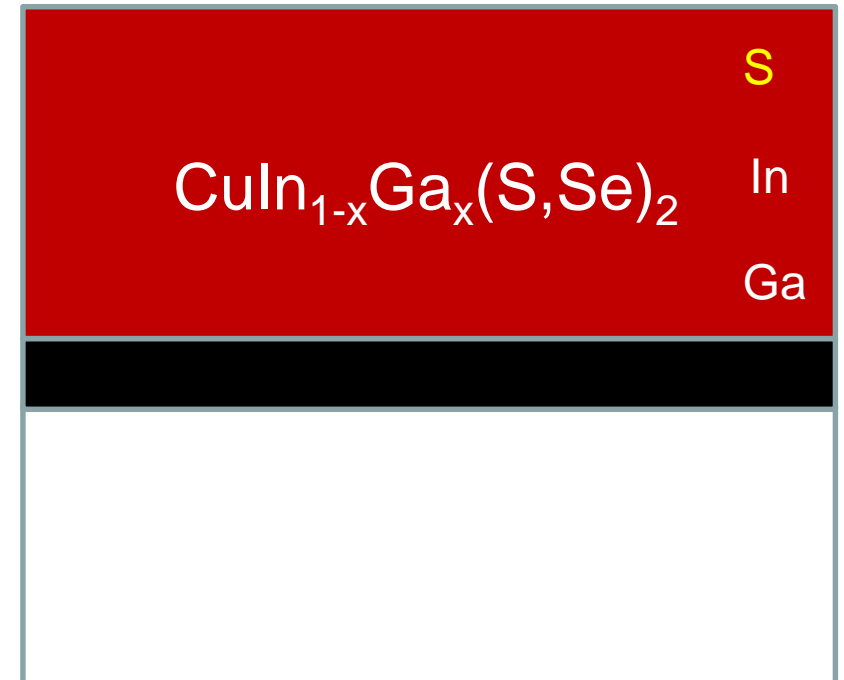
Methode Solar Frontier (23,4 %), Avancis...intérêt industriel (1 GW)

- Dépôt de couches métalliques (Sputtering)
- Sélénisation /sulfuration

Ga
In
Cu
Mo

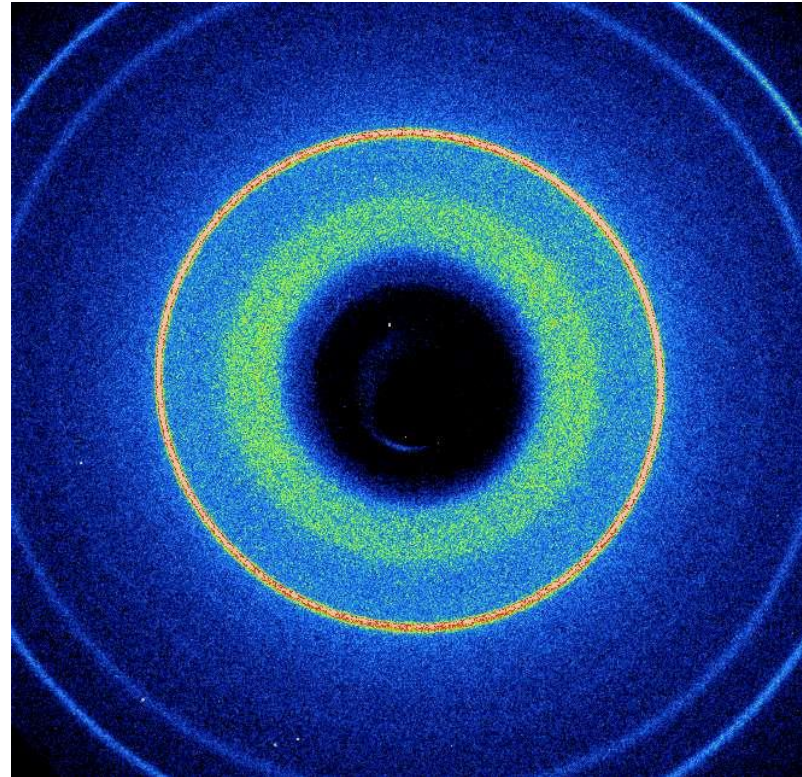
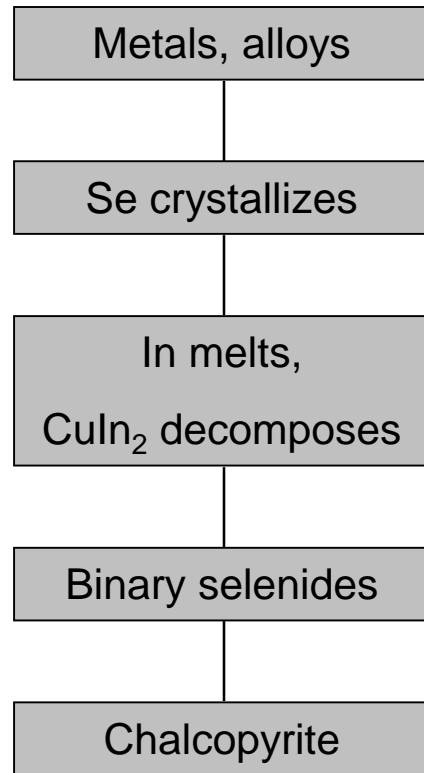


Se,S
500-600°C

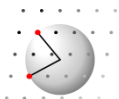


Experimental results (b): The quaternary system Cu-In-Al-Se

Polycrystalline Phases during the formation of $\text{Cu}(\text{In},\text{Al})\text{Se}_2$



Daniel Lincot, Collège de France, 23/02/2022



Dépôt chimique en solution (CBD) : analogue CVD en solution

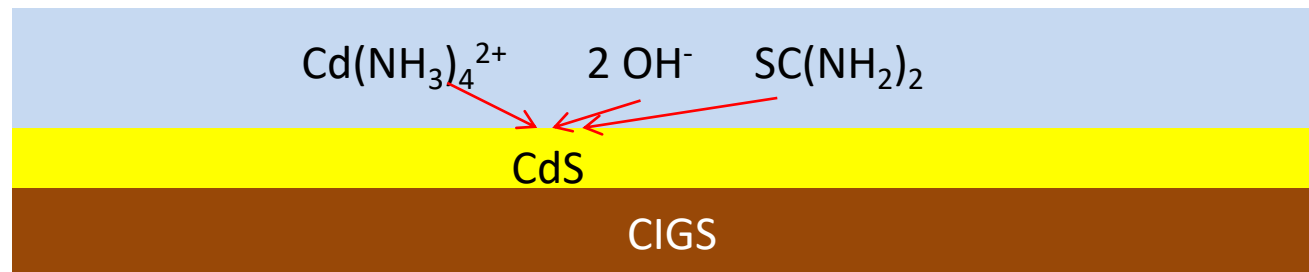


M= Cd,Zn,Pb....

Contribution majeures CNRS/Chimie Paristech (1991-1994) : CdS,Zn(O,S)
puis IRDEP, puis IPVF (→ 2021)

→ Invention réacteur plat oscillant (Eurocis) → standard industriel

→ Détermination du mécanisme et optimisation



T=60°C

Milieu aqueux

Temps de dépôt 15 min

Dépôt couvrant, épitaxie locale

Excellente homogénéité latérale

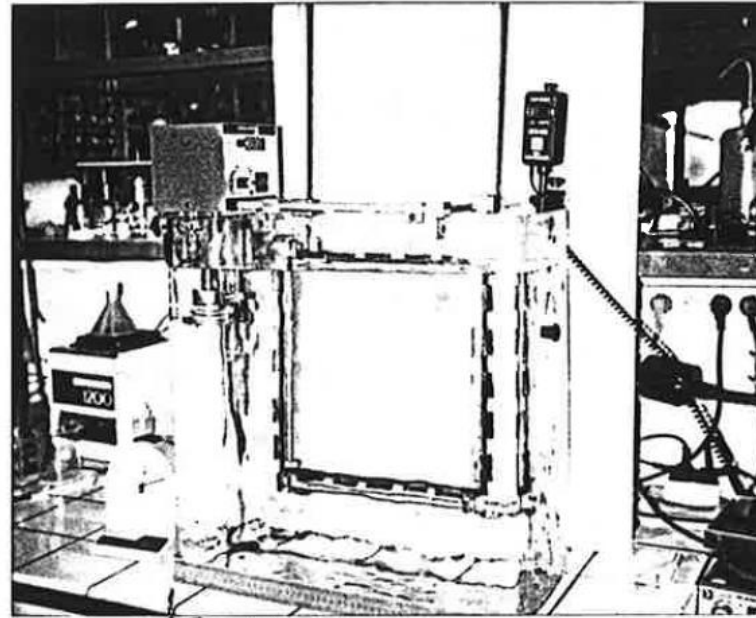
La méthode a supplanté les méthodes sous vide
Exemple phare de l'intérêt de la chimie en solution

Eurocis Meeting, Naples (1993)

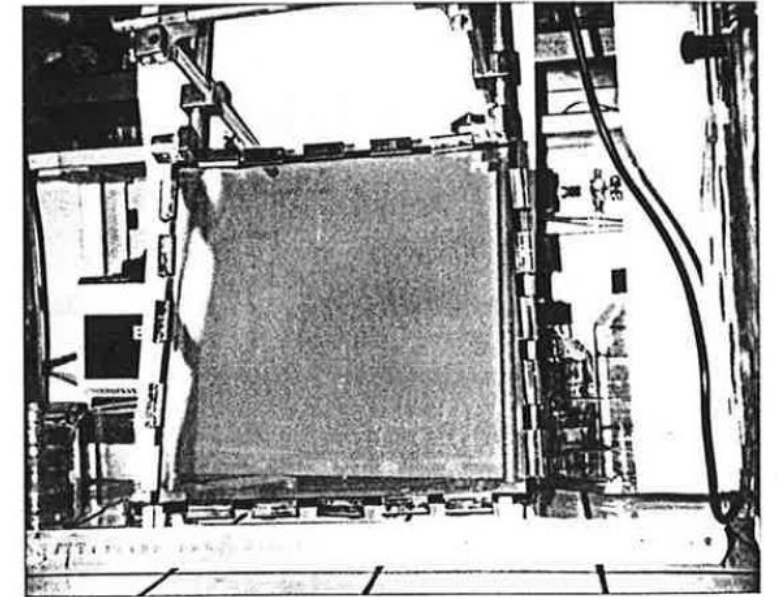
Demonstration of the Upscaling with 2D flat reactor
EUROCIS MEETING, Paris Sept. 1994

D. LINCOT
Ecole Nationale Supérieure de Chimie PARIS

UPSCALING OF CHEMICAL BATH DEPOSITION
OF CADMIUM SULFIDE
IN CuInSe_2 CELLS

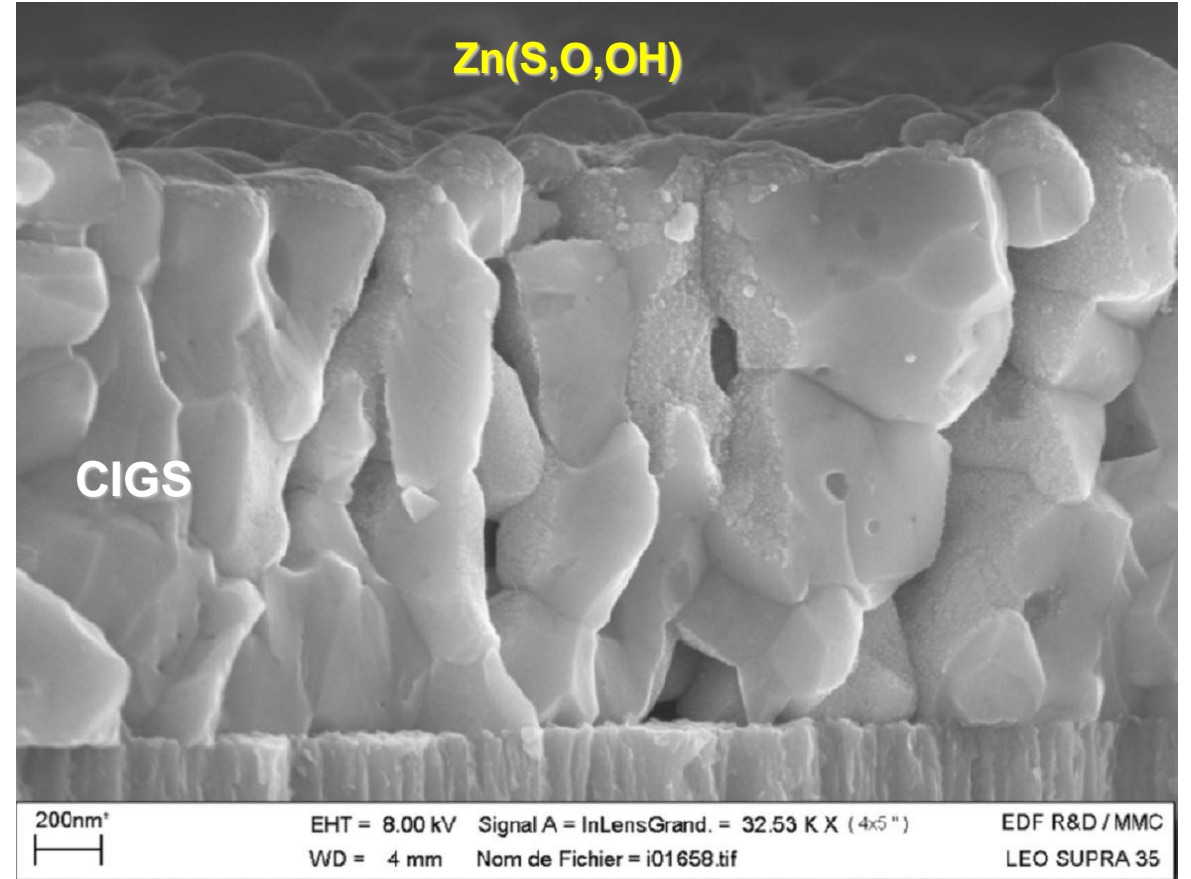
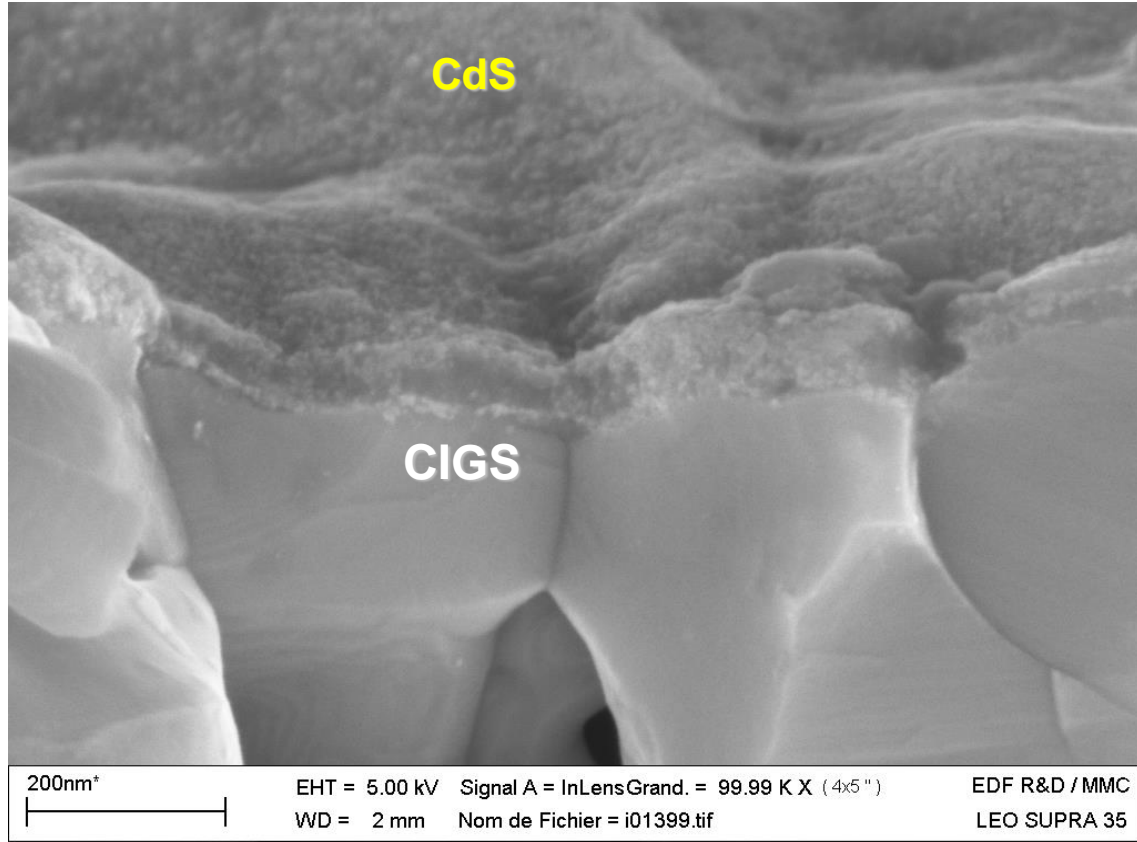


complete reactor, starting
conditions for CdS deposition



processed substrates, in their
holder out of the bath.

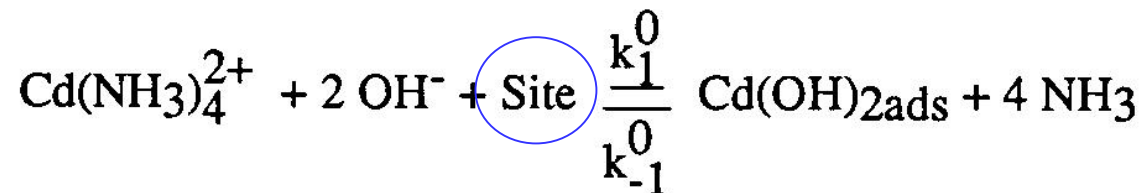
Short Story : The glass plates were coming from the nearby window glass workshop,
The separator was made of telephon electric cables,
The clamps were bought from an art shop nearby,
The large volume water bath was hired from a colleague at ENSCP working on algae Culture



Growth Mechanism : Ion by Ion surface controlled process

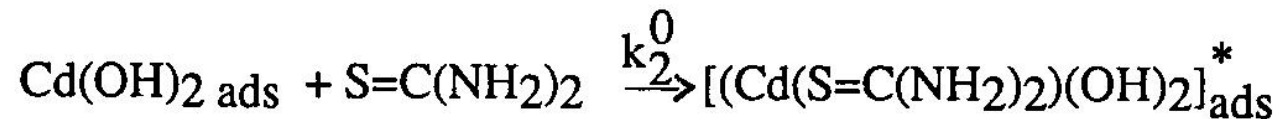
A

Reversible adsorption of cadmium hydroxide species



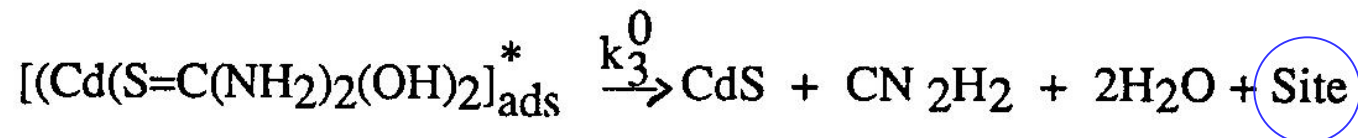
B

Formation of a surface complex with thiourea



C

Formation of CdS with site regeneration



Successive atomic layer controlled growth
Quantitative analytical model established

2016 : Oscilating horizontal single plate has become an industrial standard For CBD deposition

CBD Equipment Technologies – R&D Fully automated Exp.-Set Up

STANGL
Semiconductor Equipment AG
A MEMBER OF THE SEMI GROUP
04-2010 - 11

Automated Experimental Setup under production conditions

- Substrate size:
 - 1200 x 600mm
 - 600 x 900 mm
 - 1400 x 1100 mm
- Automated heating
- Automated wobbling (movement)
- Automated dosage

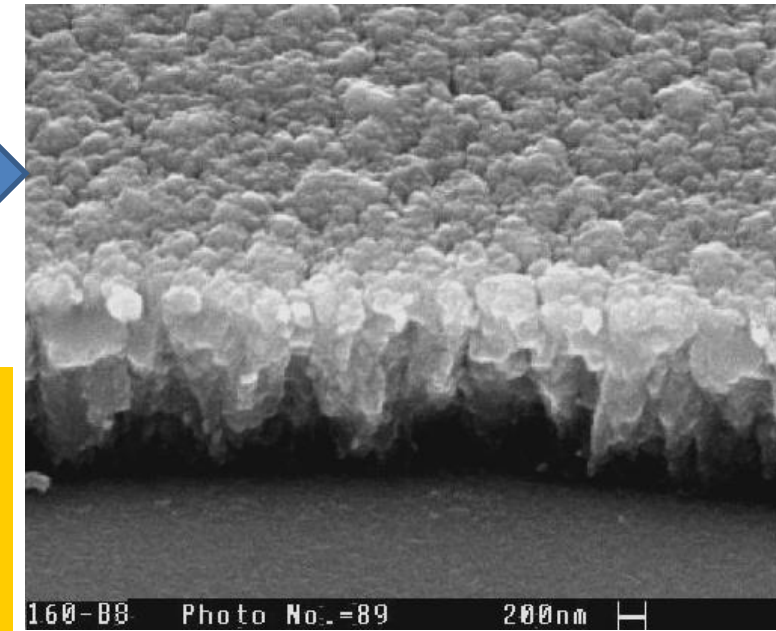
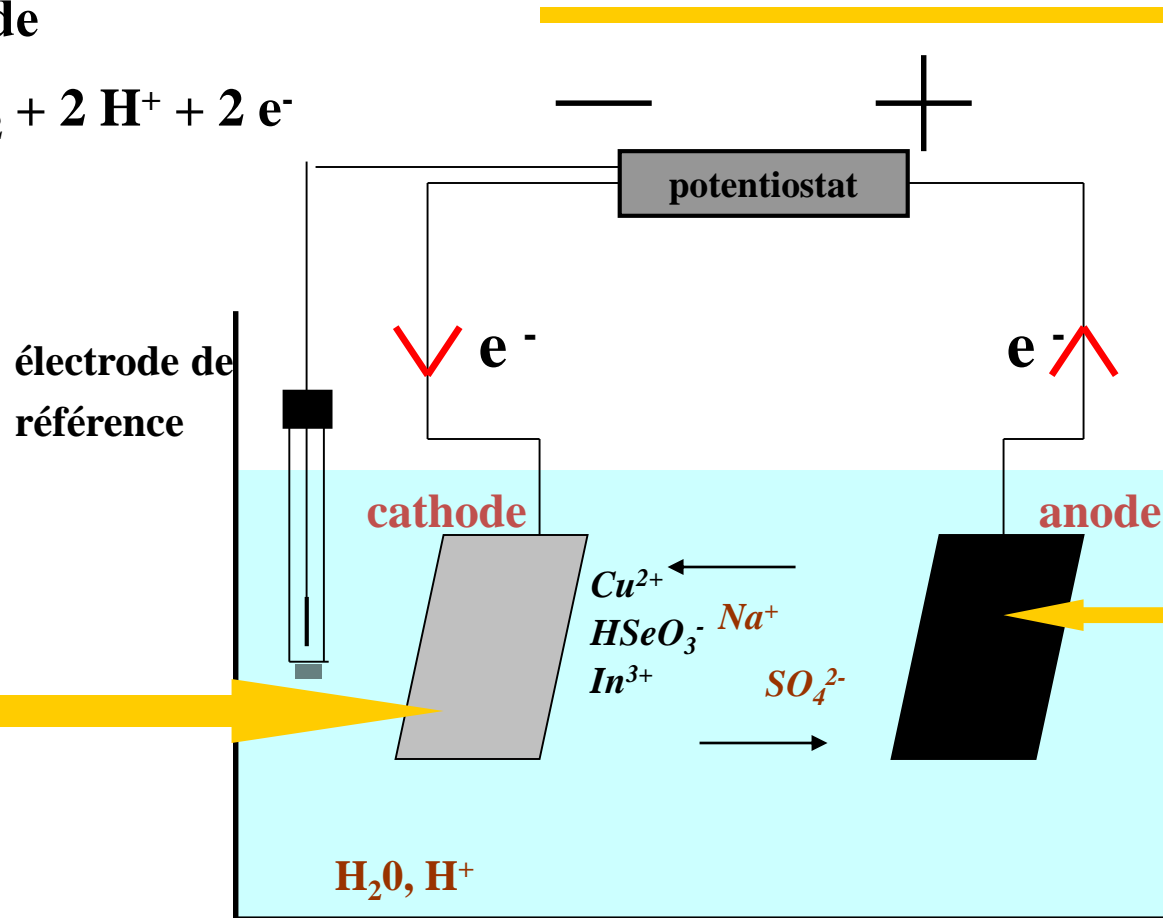
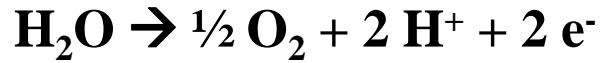


Synthèse électrochimique

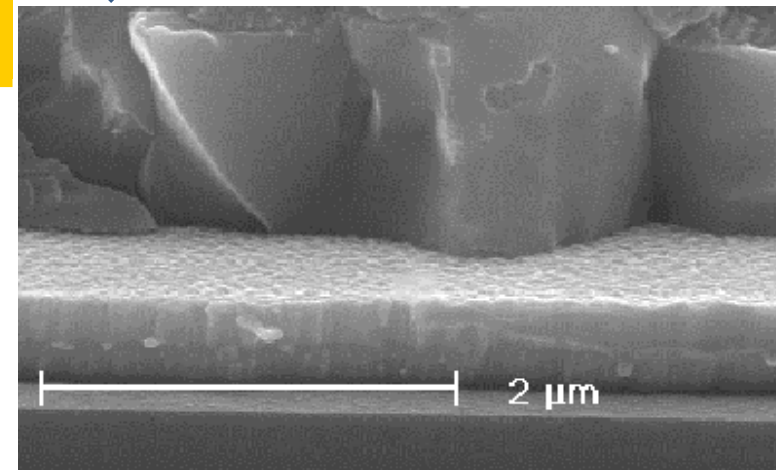
Réaction globale à la cathode



Réaction à l'anode



Recuit thermique sous P_{atm}
sous pression Se ou S



An overview on electrodeposited Cu(In,Ga)(Se,S)₂ thin films for photovoltaic devices

V. Bermudez

Solar Frontier KK, Technology Division, 123-1 Shimokawairi, Atsugi-shi, Kanawaga 243-0206, Japan

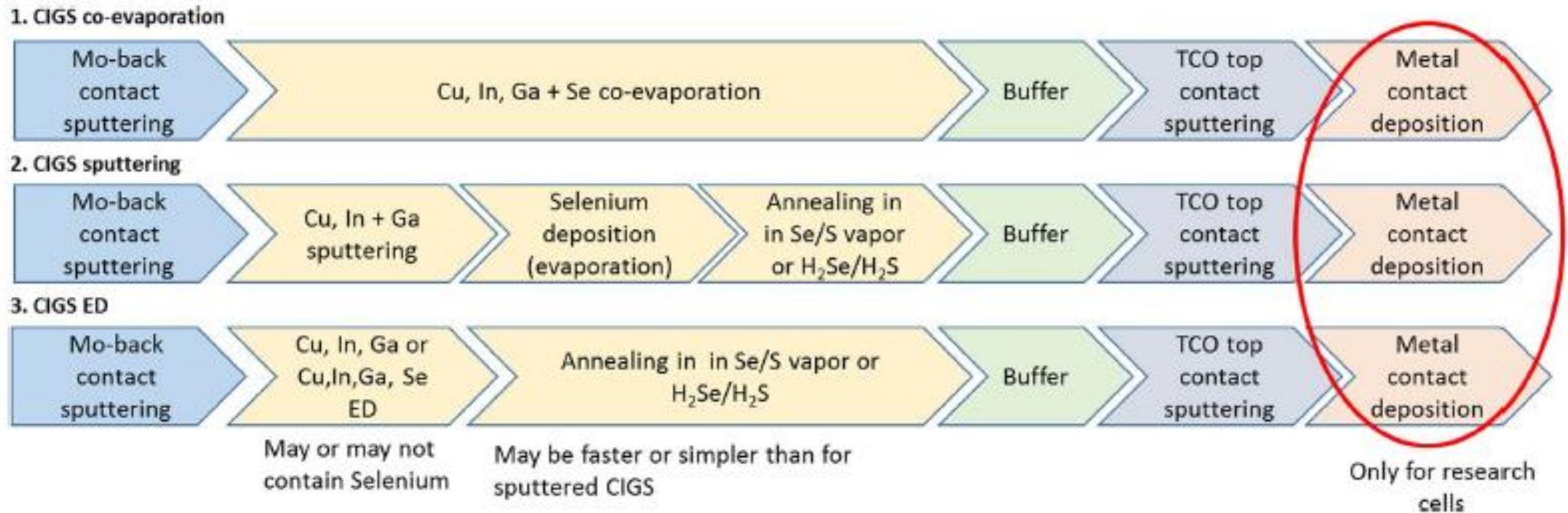
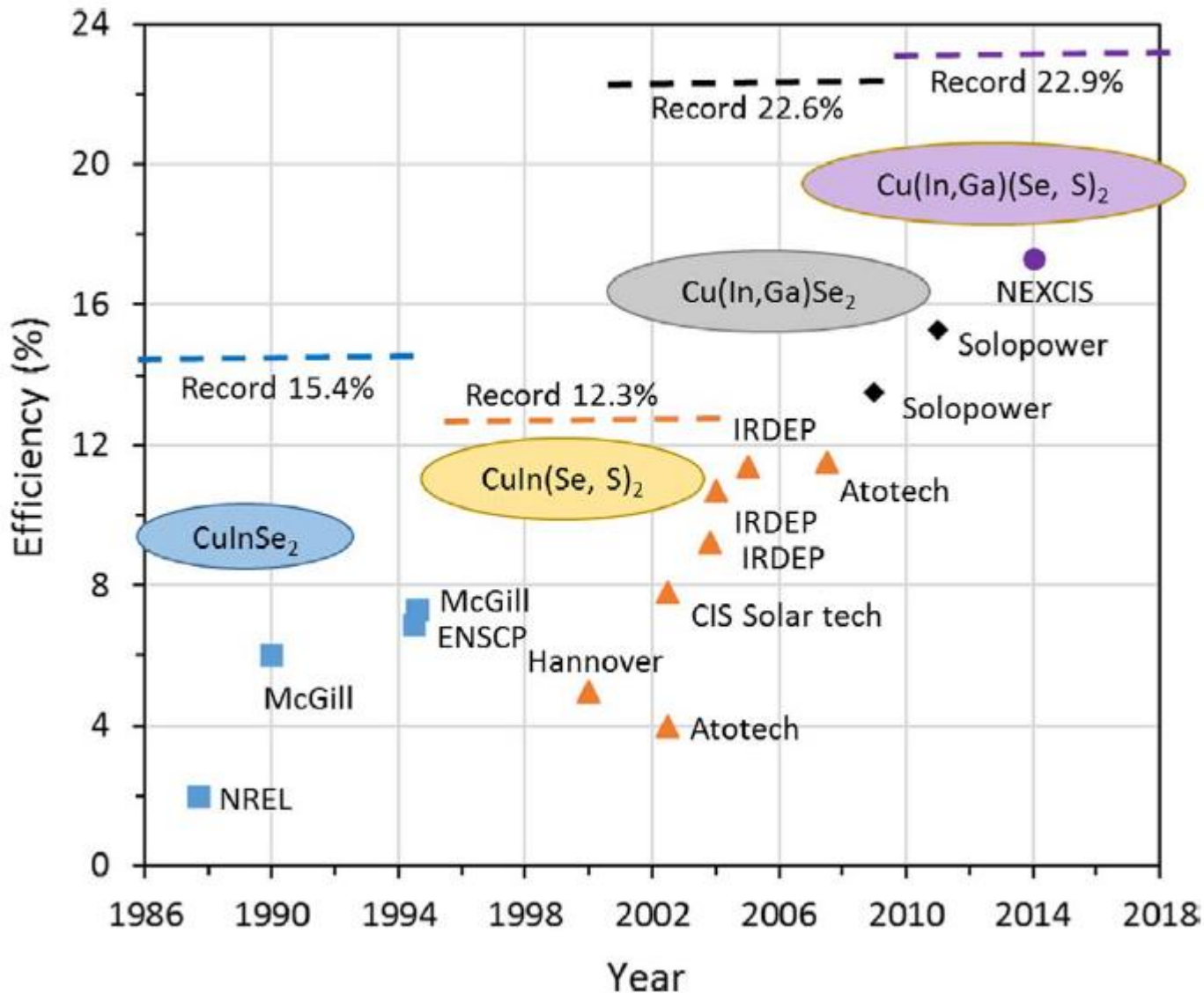


Fig. 1. Main industrial manufacturing processes for CIGS and potential variables.

La longue marche de la technologie d'électrolyse vers l'industrialisation



1994 CNRS-ENSCP (6,4%)



2002 IRDEP (CNRS-EDF-ENSCP) (11,3%)



2014 NEXCIS^{sas} (EDF)(17,3%)



2014 NEXCIS^{sas} (EDF) : modules 60x120 cm² (14%)



2021 Création de SOY PV^{sas} (D. Lincot) <--> IPVF-UPSaclay

Modules flexibles ultralégers par électrolyse

Evolution des rendements record technologie électrochimique

Autre procédé électrochimique industrialisable :
 Electrodeposition of ZnO : $Zn^{2+} + \frac{1}{2} O_2 + 2e^- \rightarrow ZnO$
 Découverte CNRS-ENSCP 1996
 IRDEP 2010

Les secrets du CIGS : Grande tolérance aux écarts à la stœchiométrie (I)

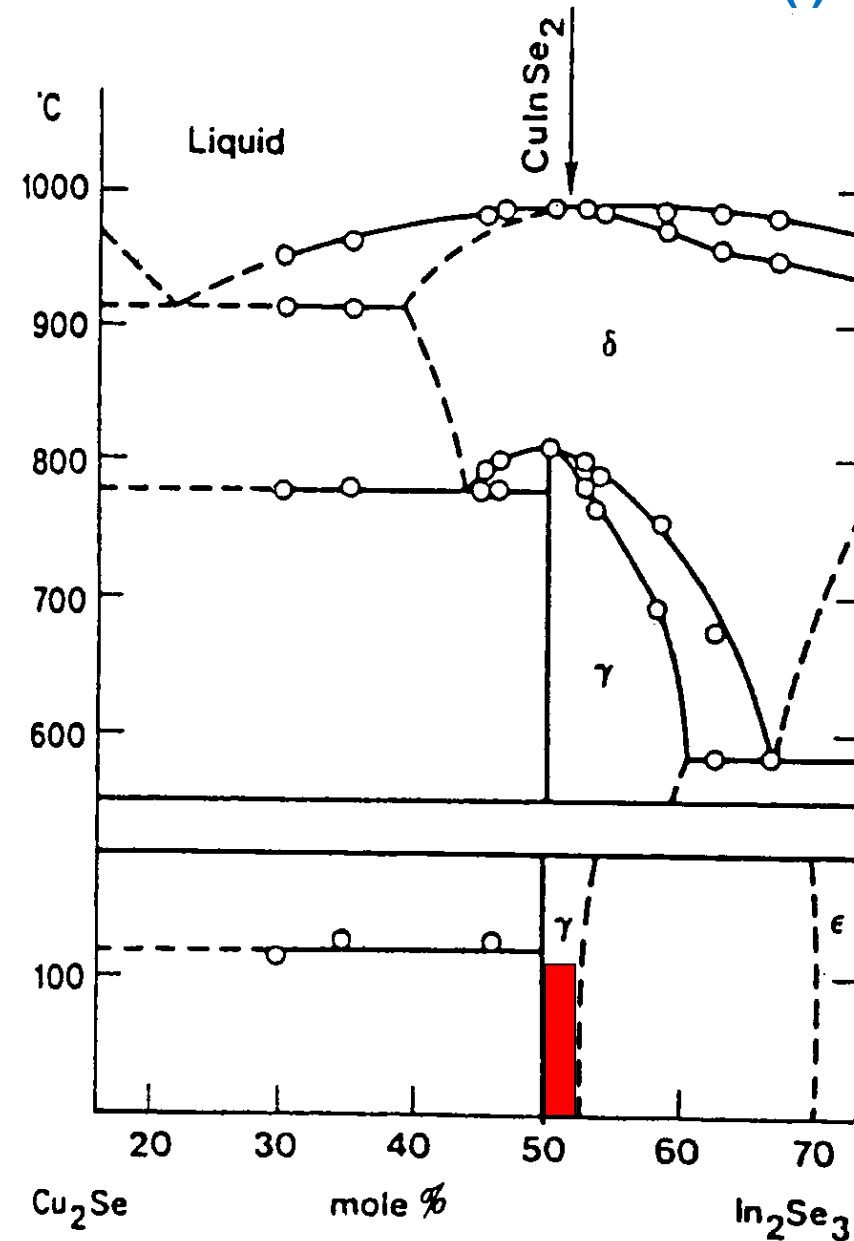
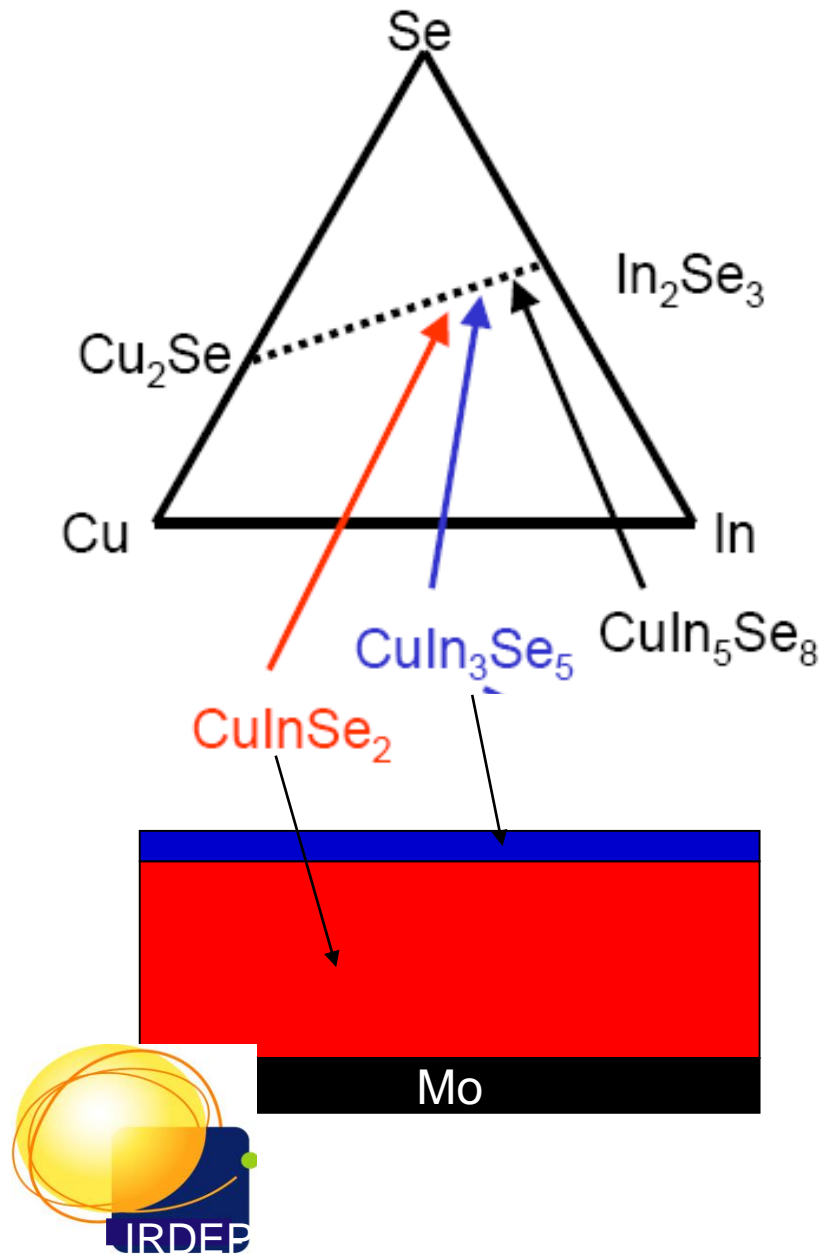
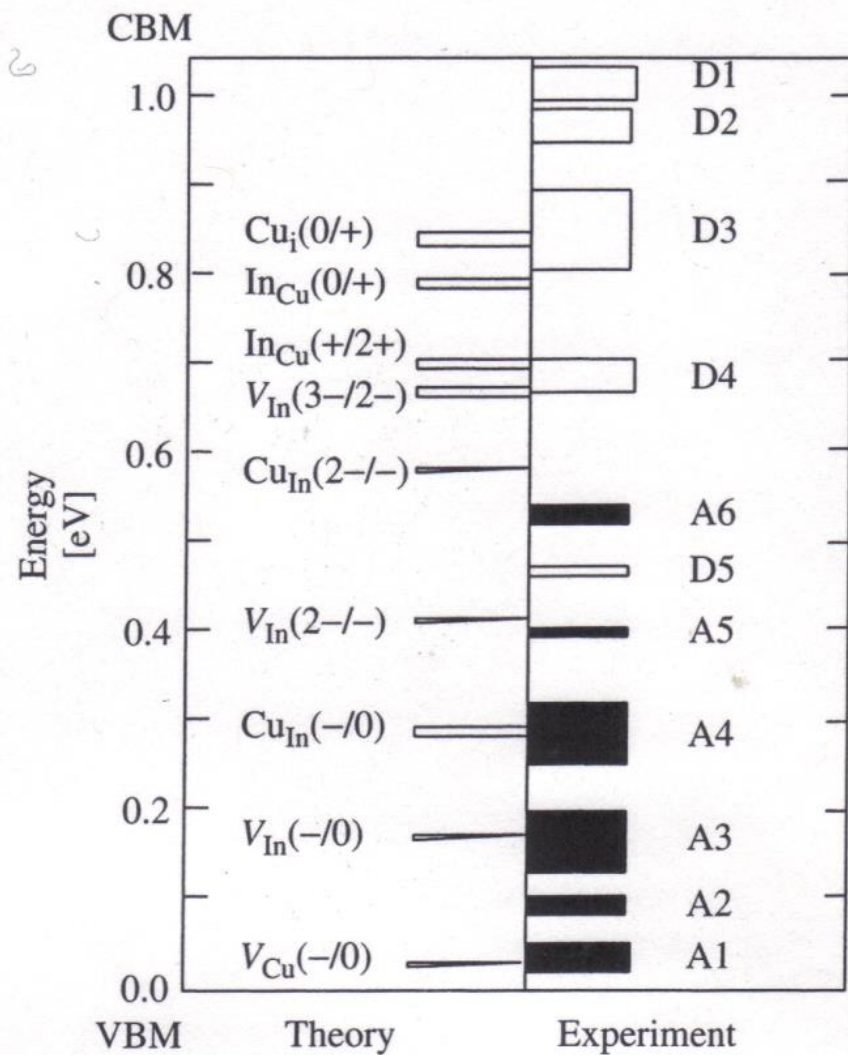


Fig. 3. Pseudo-binary phase diagram of Cu₂Se-In₂Se₃ system.⁵⁾

Une Chimie des défauts intrinsèques favorable : Phénomènes d'autocompensation



From Zhang et al 1998

Possible extrinsic acceptor : Na_{Cu}

Table 13.2 The most important intrinsic defects for device-quality CuInSe₂

Defect	Energy position	Type
V _{Cu}	$E_V + 0.03$ eV	Shallow acceptor
In _{Cu}	$E_C - 0.25$ eV	Compensating donor
V _{Se}		Compensating donor
Cu _{In}	$E_V + 0.29$ eV	Recombination center

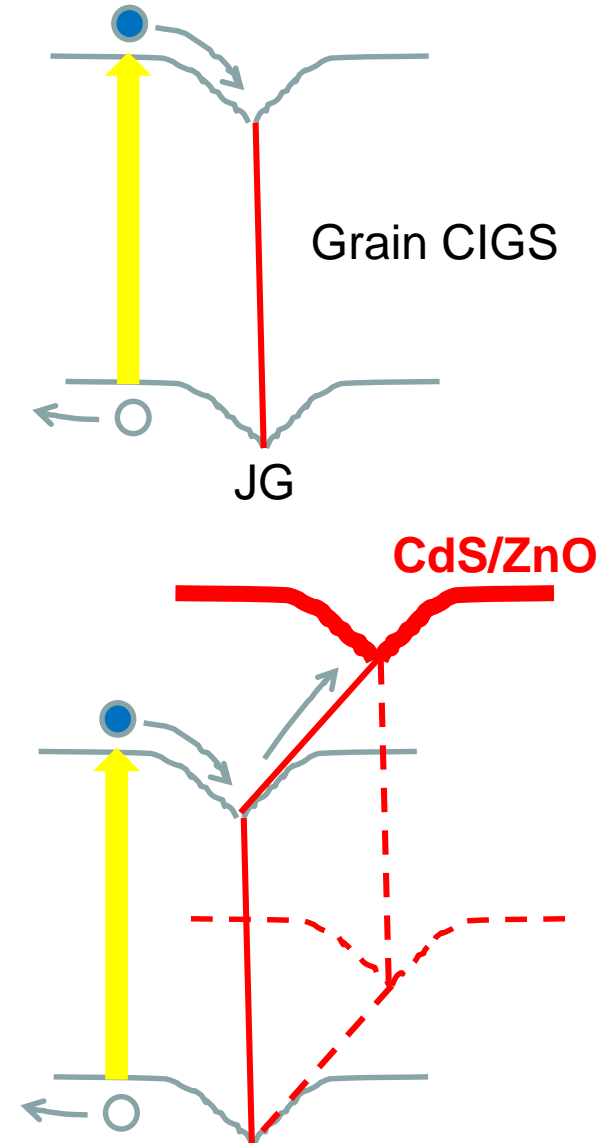
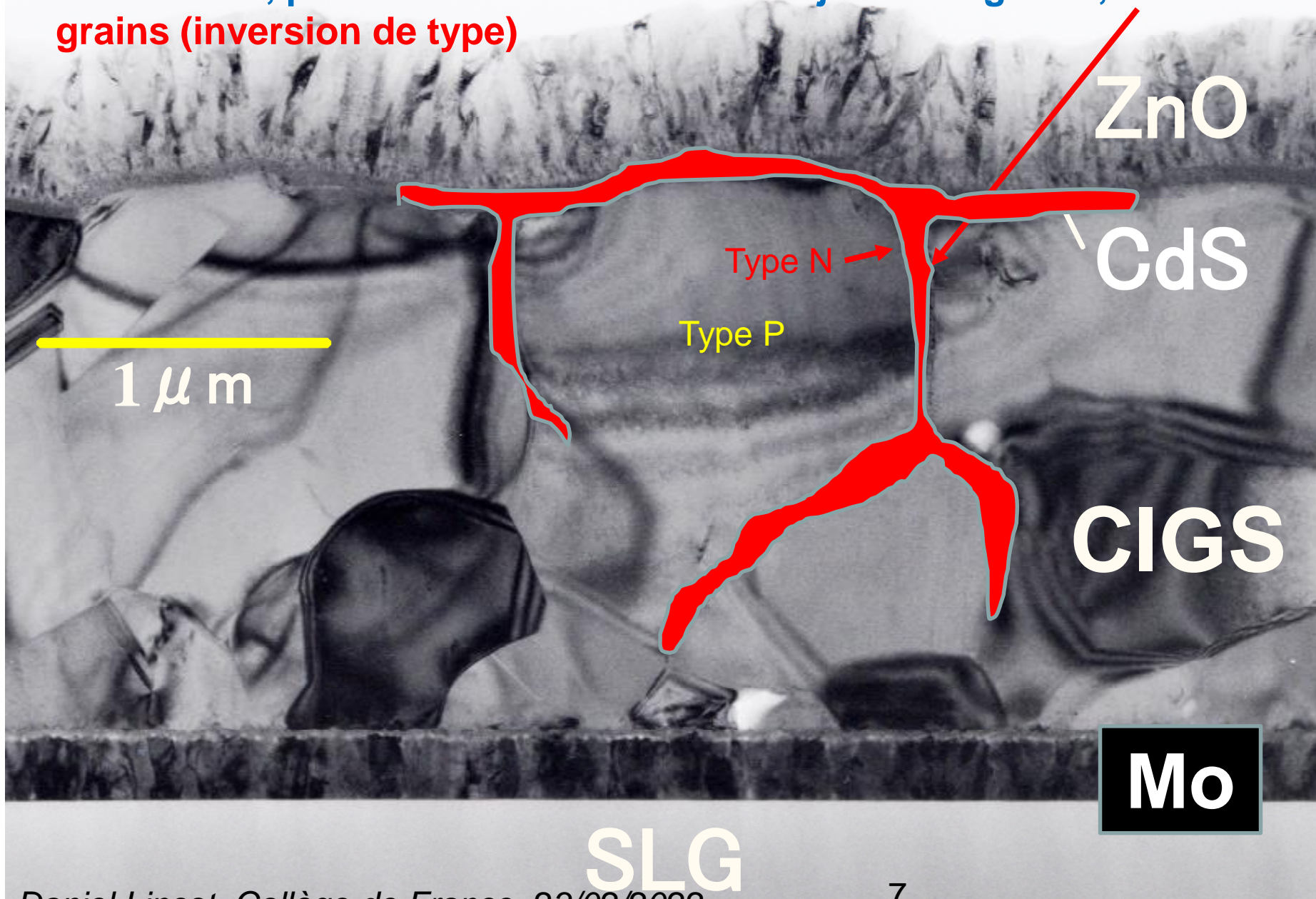
Defect complexes :
Low formation energies

(Cu_{In}, In_{Cu}), (2Cu_i, Cu_{In}), (2V_{Cu}, In_{Cu})

no electronic transition in BG
Accommodates In excess
Precludes the formation
of ordered vacancy compounds
CuIn₃Se₅, CuIn₅Se₈

W. Shafarman and L. Stolt, CIGS Solar cells
in Handbook of PV Science and Engineering (2003)

Interprétations fondamentales : augmentation des durées de vie dans le CIGS, adaptation des bandes, passivation des interfaces et joints de grains, **effet bénéfique des joints de grains (inversion de type)**





Review on incorporation of alkali elements and their effects in Cu(In,Ga)Se₂ solar cells



Yazi Wang^a, Shasha Lv^{b,*}, Zhengcao Li^{c,*}

^a State Key Laboratory of New Ceramics and Fine Processing, School of Materials Science and Engineering, Tsinghua University, Beijing 100084, China

^b Key Laboratory of Radiation Beam Technology and Material Modification (MOE), College of Nuclear Science and Technology, Beijing Normal University, Beijing 100875, China

^c Key Laboratory of Advanced Materials (MOE), School of Materials Science and Engineering, Tsinghua University, Beijing 100084, China

Table 1

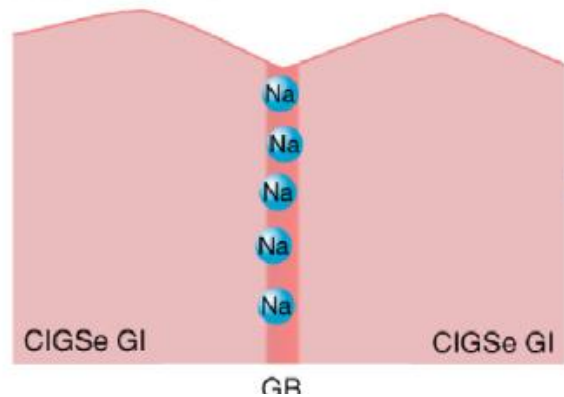
The record efficiency CIGS solar cells treated by alkali-fluoride post-deposition treatment (PDT) and corresponding photovoltaic parameters in recent years.

Institutions	Year	PDT	Voc (mV)	Jsc (mA/cm ²)	FF (%)	Eff. (%)	Ref.
EMPA	2013	NaF + KF	736	35.1	78.9	20.4	[4]
ZSW	2014	KF	757	34.8	79.1	20.8	[5]
Solar Frontier	2014	KF	686	39.9	76.4	20.9	[6]
Solibro	2014	KF	757	35.7	77.6	21.0	[7]
ZSW	2014	RbF	746	36.6	79.3	21.7	[8]
Solar Frontier	2015	KF	722	39.4	78.2	22.3	[9]
ZSW	2016	RbF	741	37.8	80.6	22.6	[10]
Solar Frontier	2018	CsF	746	38.5	79.7	22.9	[11]
Solar Frontier	2019	CsF	734	39.6	80.4	23.35	[12]

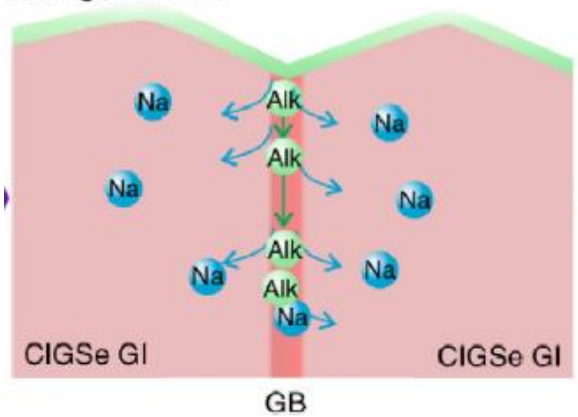
*EMPA: Swiss Federal Laboratories for Materials Science and Technology.

ZSW: Zentrum für Sonnenenergie- und Wasserstoff-Forschung Baden-Württemberg.

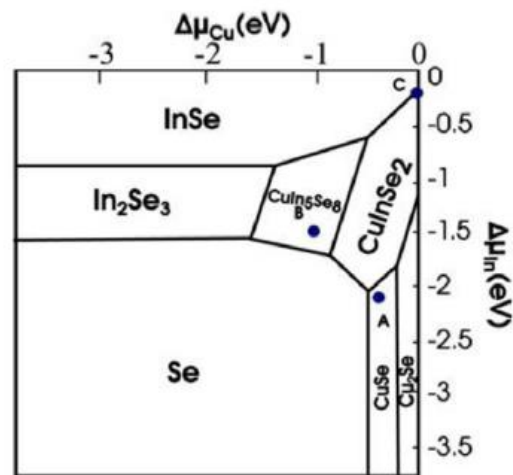
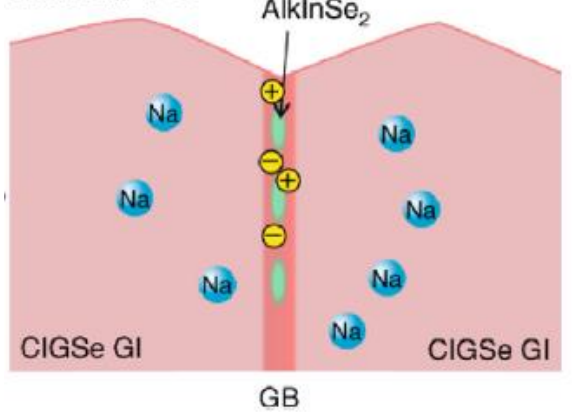
Before AlkF-PDT



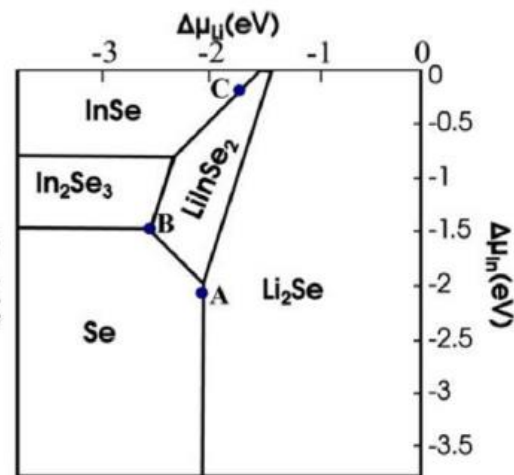
During AlkF-PDT



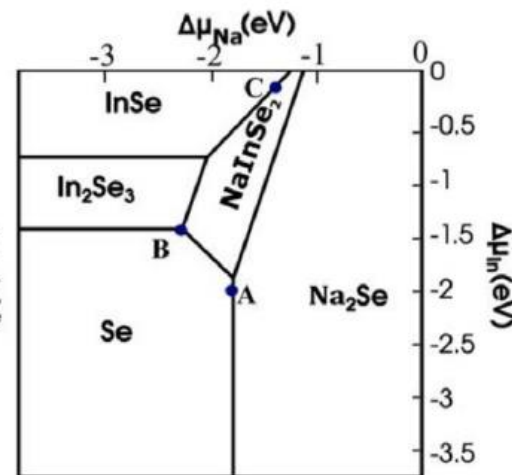
After AlkF-PDT



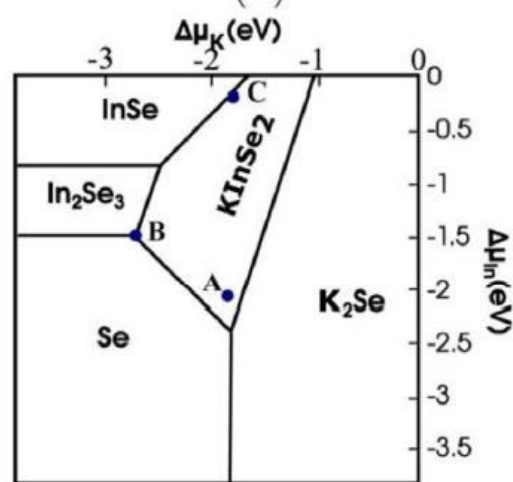
(a)



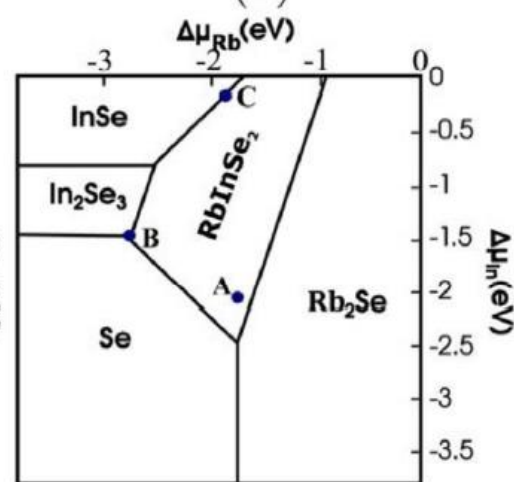
(b)



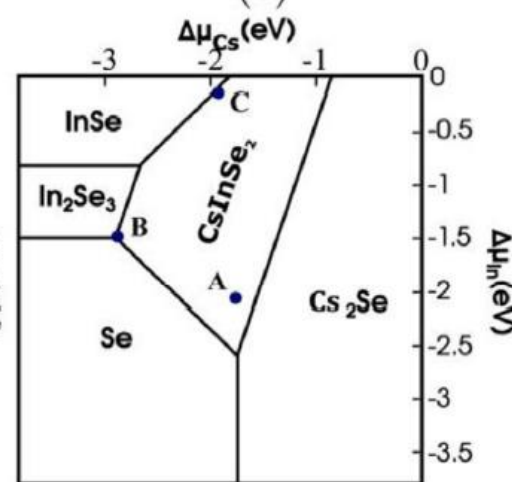
(c)



(d)



(e)



(f)

Procédés en solution → Vers l'imprimerie

Impact of Absorber Layer Morphology on Photovoltaic Properties in Solution-Processed Chalcopyrite Solar Cells

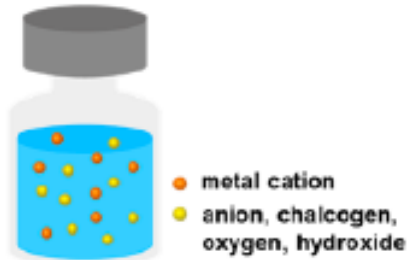
Joo-Hyun Kim,[§] Soohyun Bae,[§] and Byoung Koun Min*

Record : 17,3 %

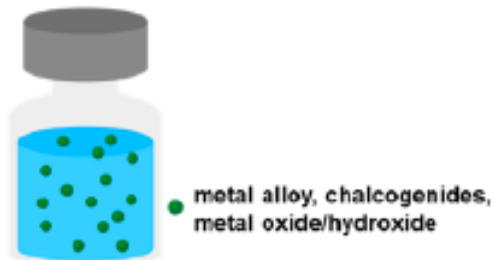
✓ Cite This: *ACS Appl. Mater. Interfaces* 2021, 13, 34–47

🌐 Read Online

(a) Molecular precursor solution



(b) Nanoparticle solution

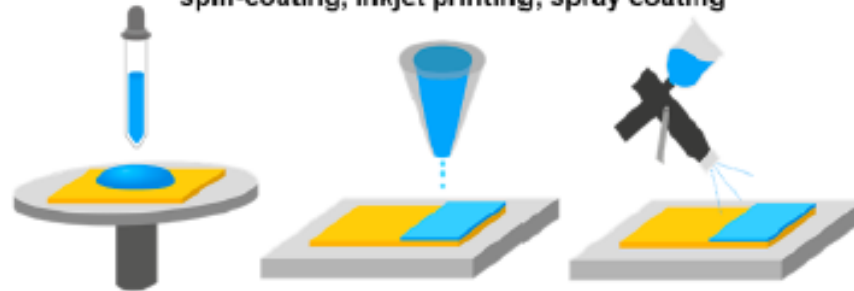


<Various coating methods>

slot die, doctor blade, knife coating, bar coating

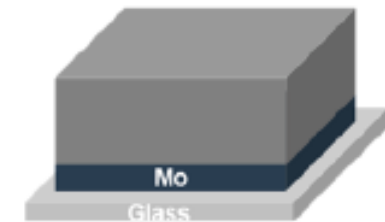


spin-coating, inkjet printing, spray coating

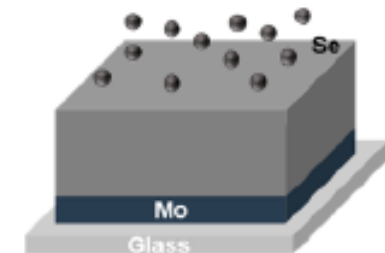


<Post heat treatment>

without Se



with Se (selenization)



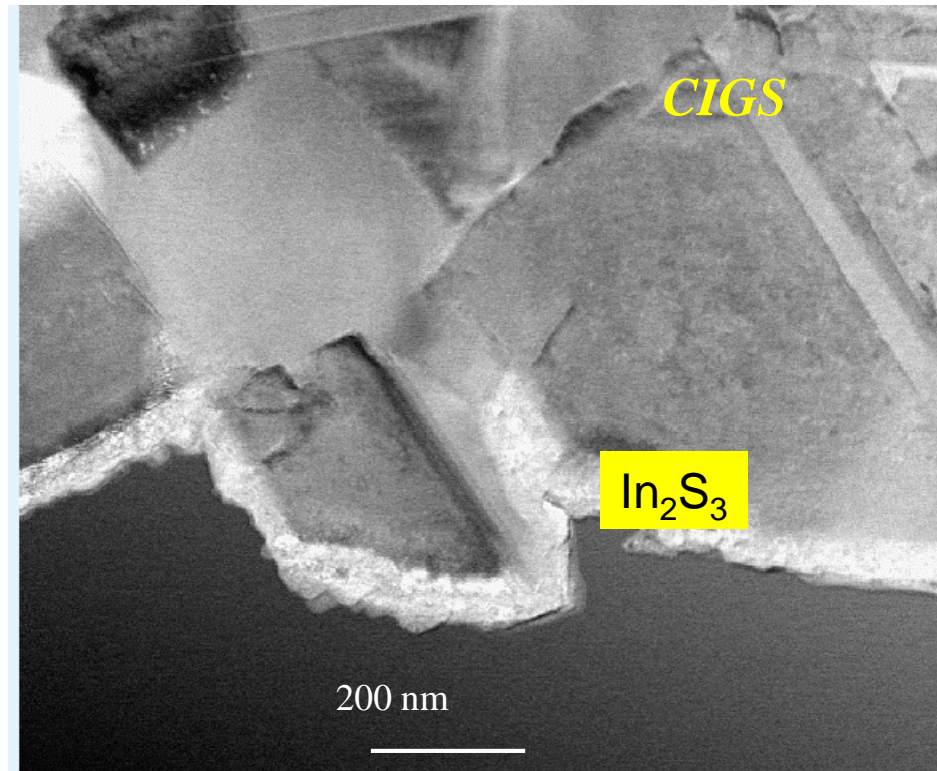
Dépôt alterné en phase gazeuse (Atomic Layer Deposition –ALD)

Basse température, conforme, contrôle monocouche atomique

Microélectronique



Photovoltaïque (sulfures, oxydes...)



CNRS-ENSCP
IRDEP
IPVF

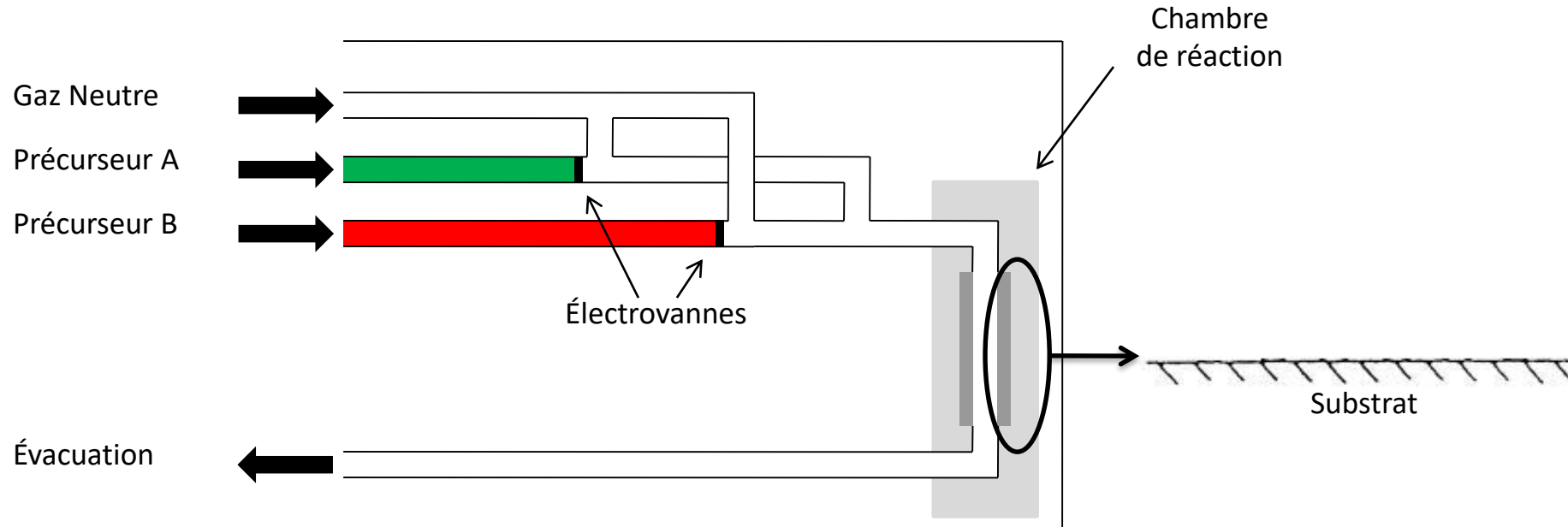
N. Naghavi,
F. Donsanti
N. Schneider
D. Coutancier

Dépôt chimique par flux alternés en phase gazeuse (ALCVD)

Exemple A = $\text{Zn}(\text{C}_2\text{H}_5)_2$, $\text{In}(\text{CH}_3)_3$
B = H_2O , H_2S

Principe :

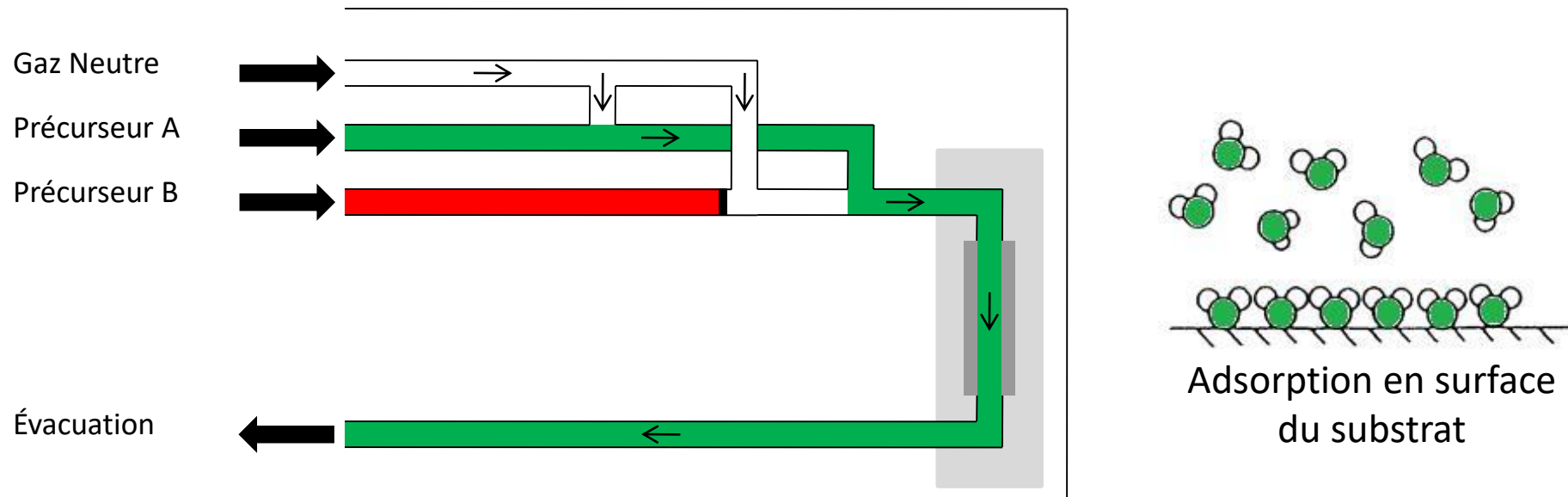
Dépôt découpé en cycles de 4 étapes



Dépôt chimique par flux alternés en phase gazeuse (ALCVD)

Principe :

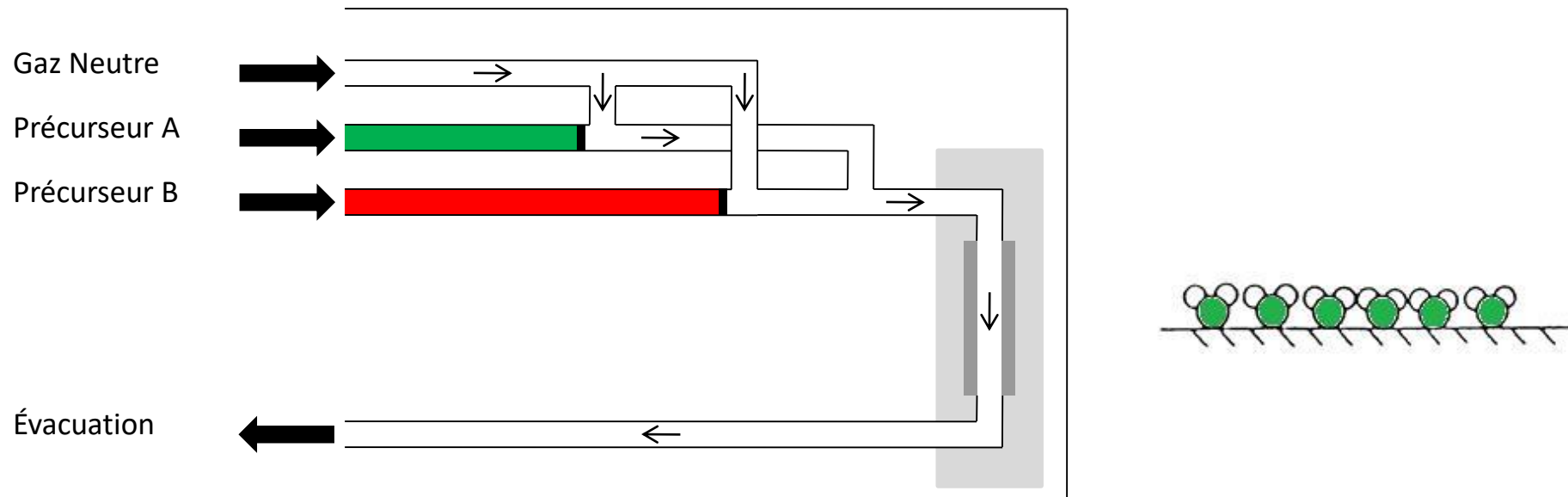
Étape 1 : Pulse de précurseur A



Dépôt chimique par flux alternés en phase gazeuse (ALCVD)

Principe :

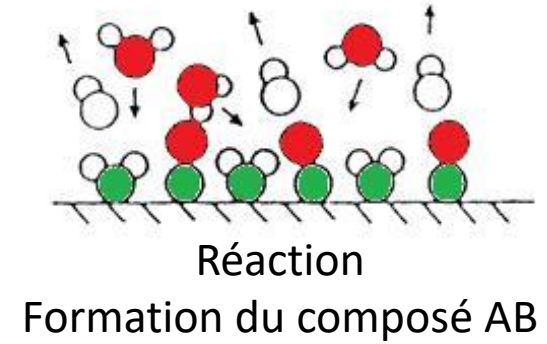
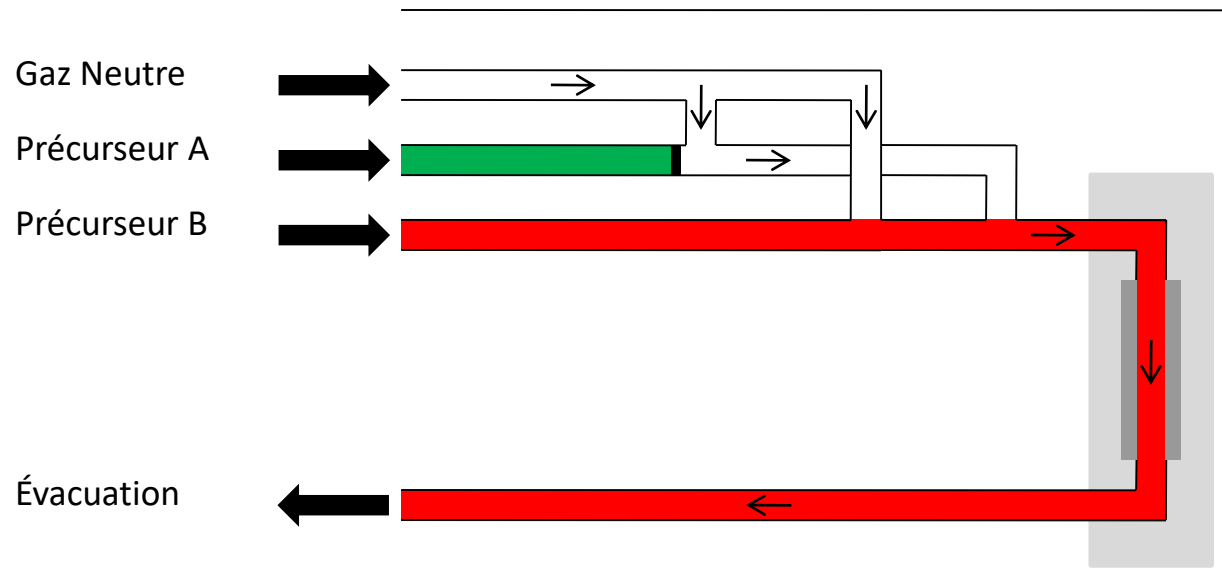
Étape 2 : Purge



Dépôt chimique par flux alternés en phase gazeuse (ALCVD)

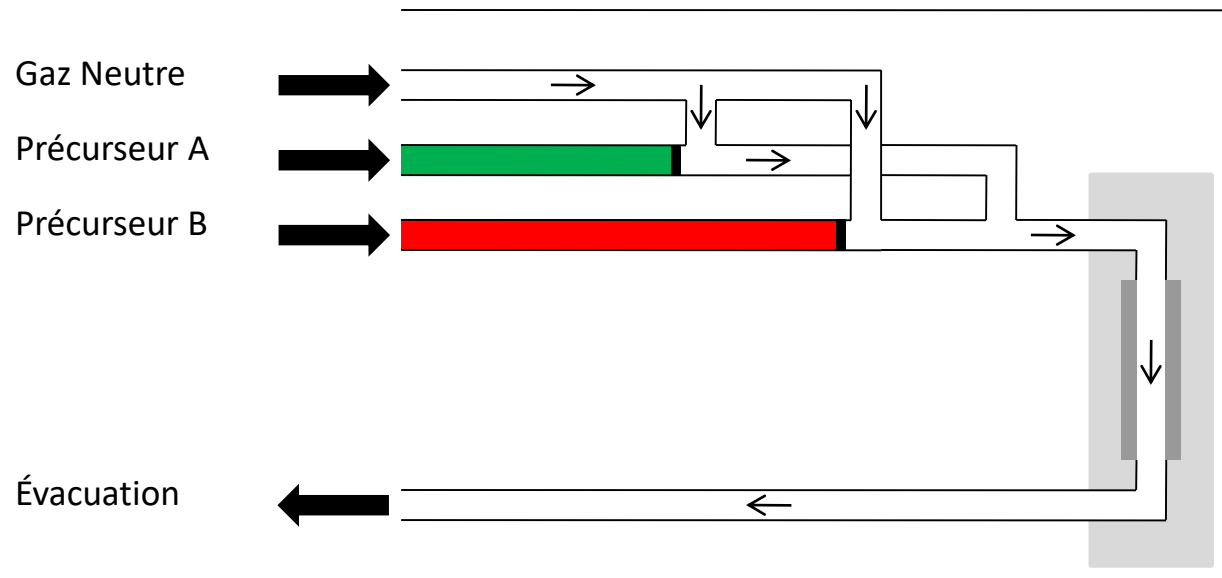
Principe :

Étape 3 : Pulse de précurseur B

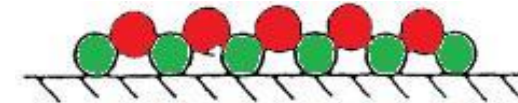


Dépôt chimique par flux alternés en phase gazeuse (ALCVD)

Étape 4 : Purge

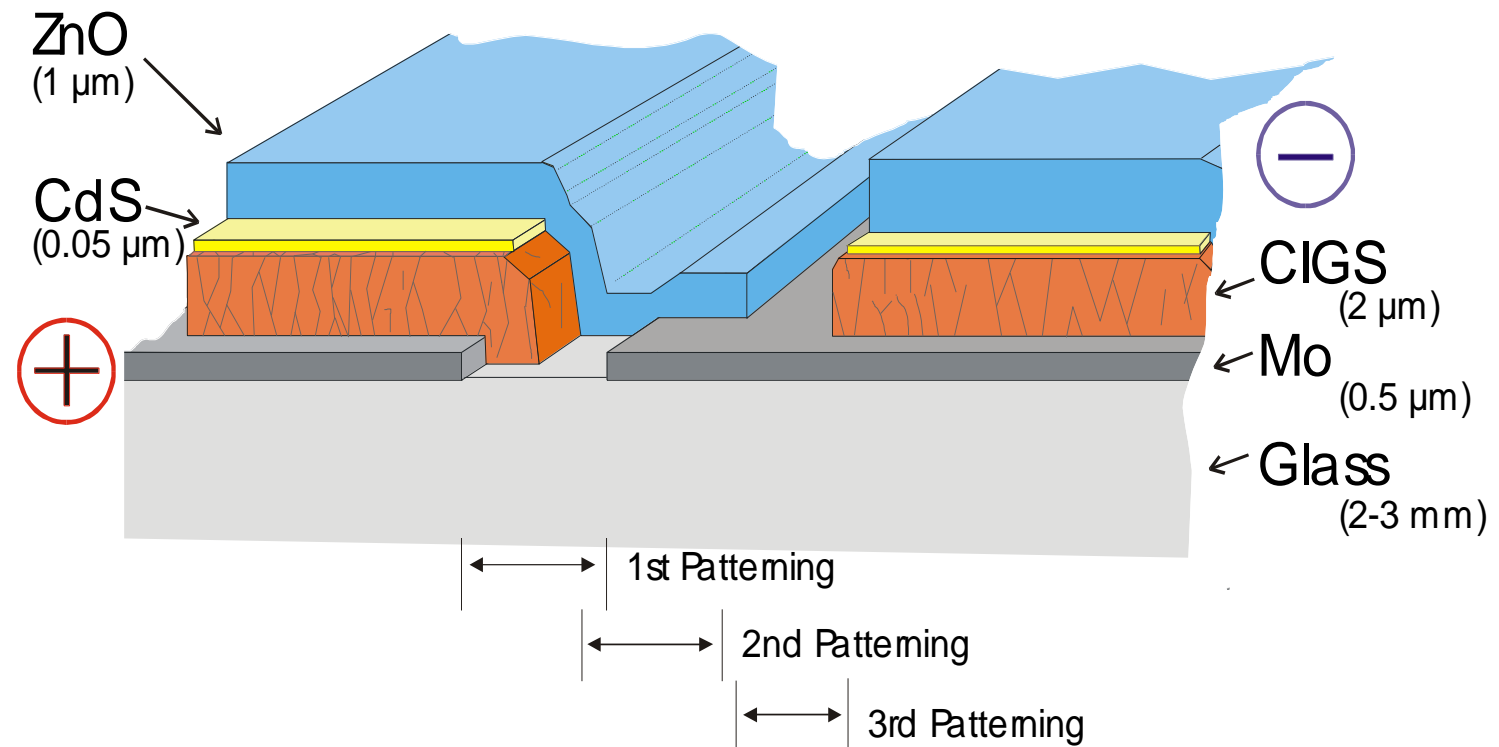


→ Et on recommence :
→ tricoter des matériaux
à l'échelle atomique



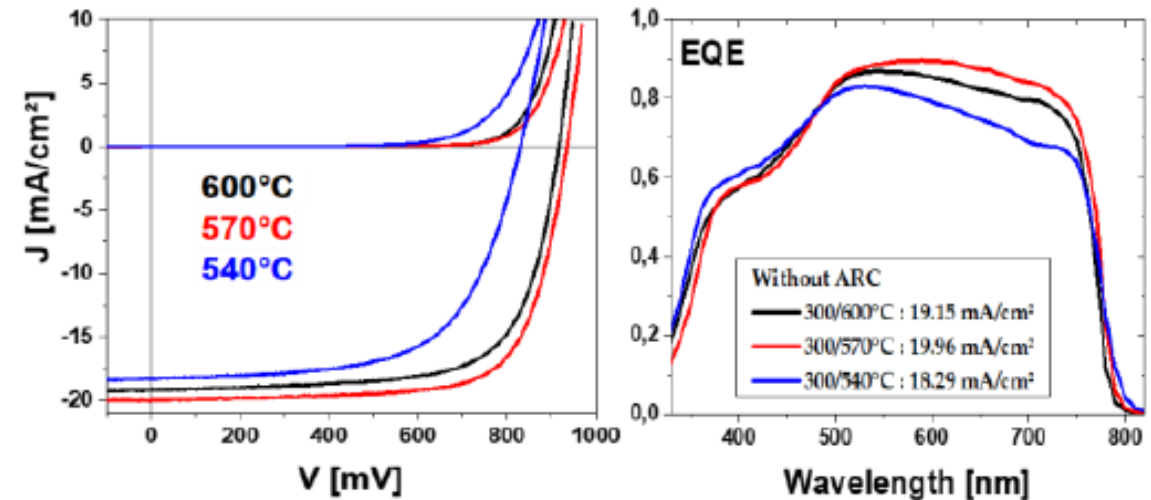
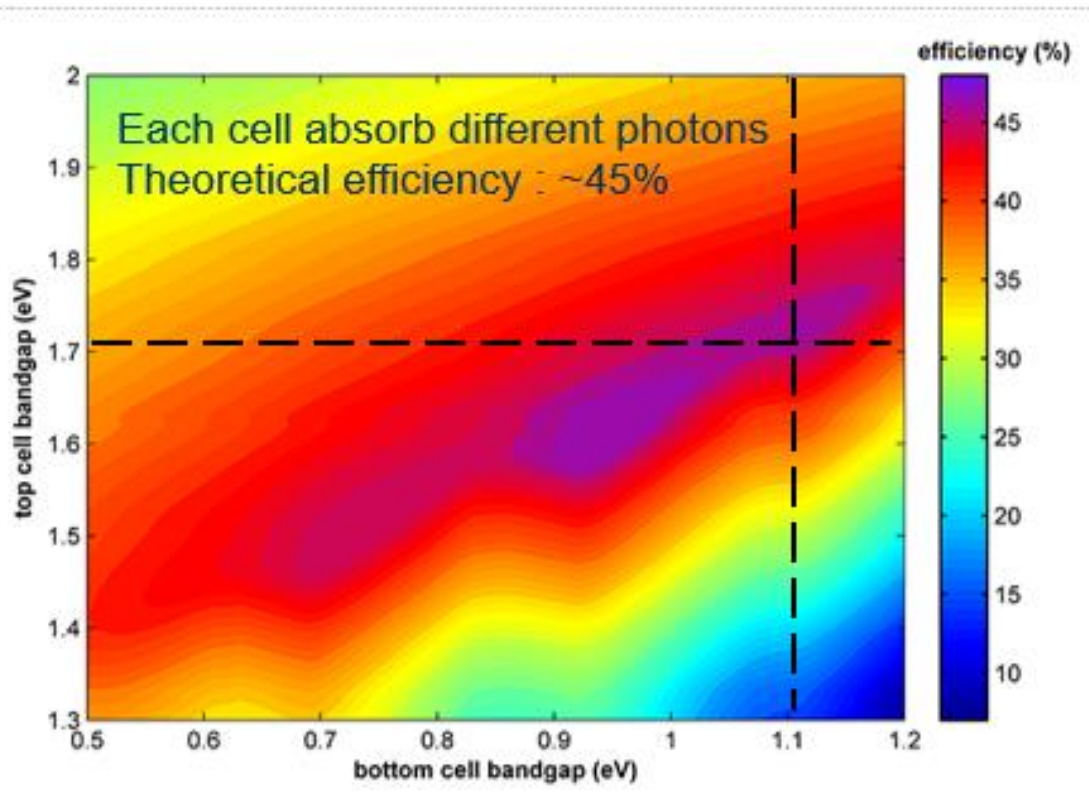
En fin de cycle, on obtient théoriquement le dépôt d'une monocouche de matériau.

Les modules couches minces : une connectique originale



Nouveaux développements

Cellules CuInGaS_2 à grande bande interdite (1,6-1,7 eV) pour cellules tandem Si-CIGS



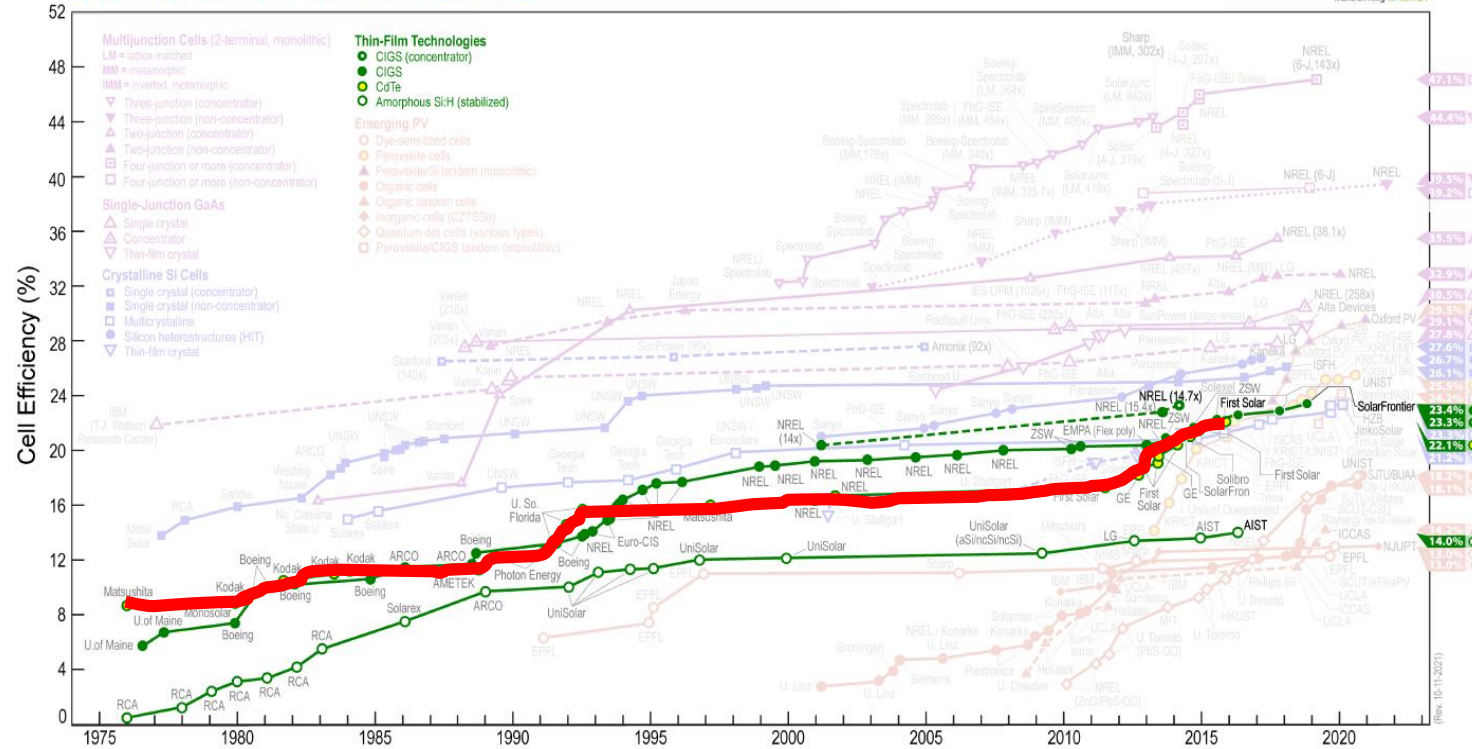
T_m	V_{oc} [mV]	J_{sc} [mA/cm ²]	FF [%]	Eff [%]	qV_{oc} (T → 0 K)
540°C	831	18.3	62.5	9.5	1.45 eV
570°C	935	20.0	72.2	13.5	1.65 eV
600°C	917	19.2	66.0	12.3	1.58 eV

N. Barreau et al., IEEE (2021)
Projet IPVF, ANR EPCIS

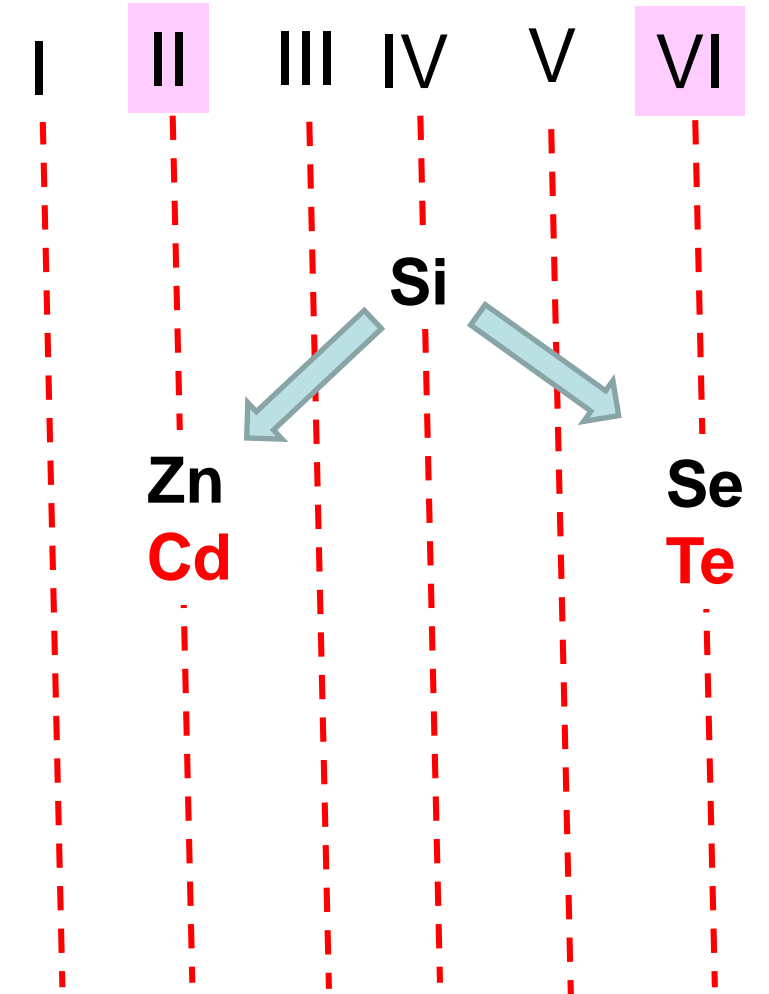
La technologie CdTe : les « Deux-Six »

Du « bout de bois » (1978- D. Lincot) à 22,1 %

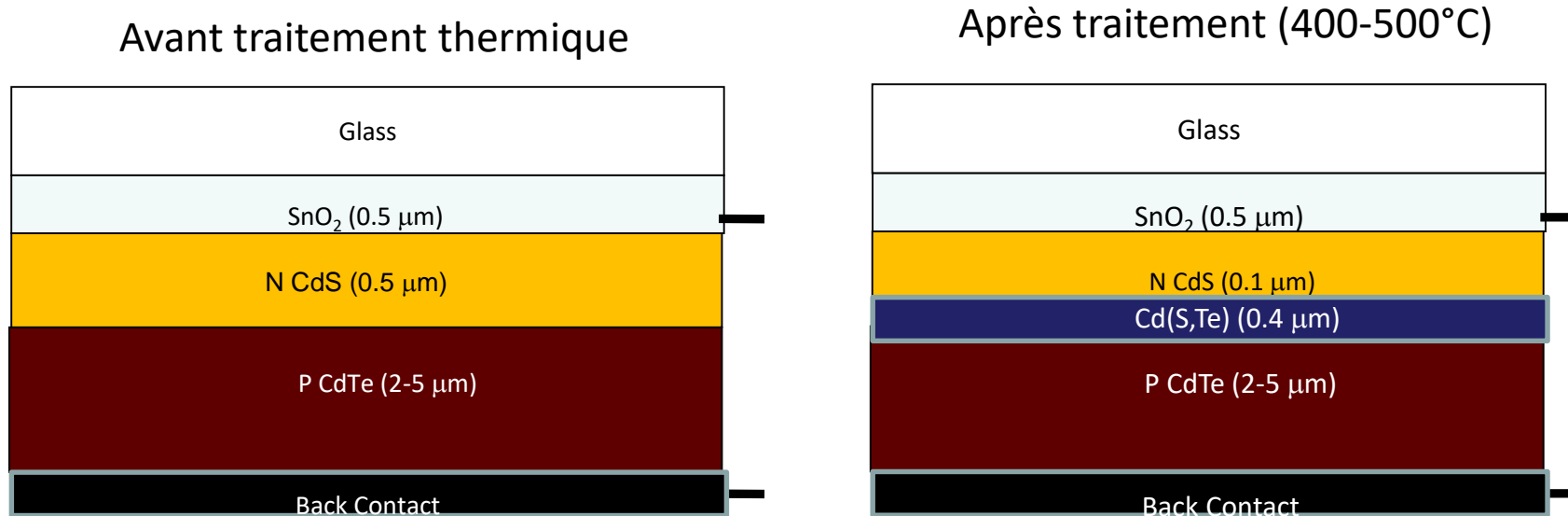
Best Research-Cell Efficiencies



Un succès industriel éclatant ! FIRST SOLAR



Les cellules solaires CdTe : principe de base



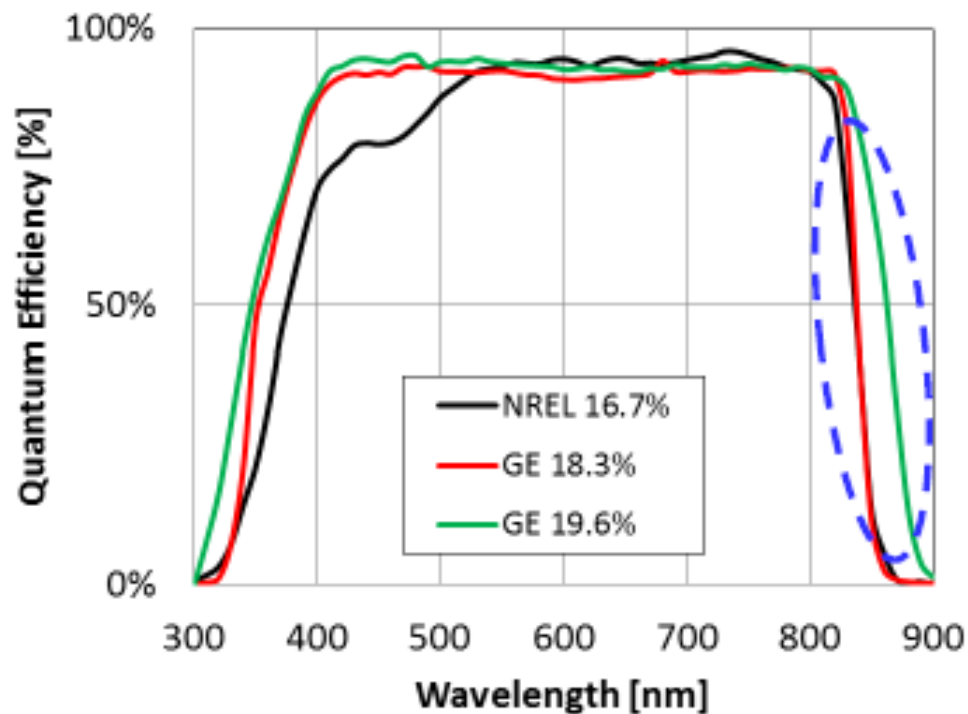
Des secrets gardés bien longtemps :
traitement au Chlorure de cadmium → frittage, passivation des défauts dans CdTe

Une physico-chimie proche de celle du CIGS : tolérance aux défauts
dopage intrinsèque, phénomènes d'autocompensation...

Evolution des réponses spectrales

Nouveaux TCO
CdSnO₃
CdZnO₃
Zn-In-O
Ga-Zn-O

(Cd,Zn)S
Gap augmente



Cd(S,Te)
Gap diminue

(Cd,Zn)Te
(Cd,Mg)Te
Gap augmente

+ Graded band gap in CdTe

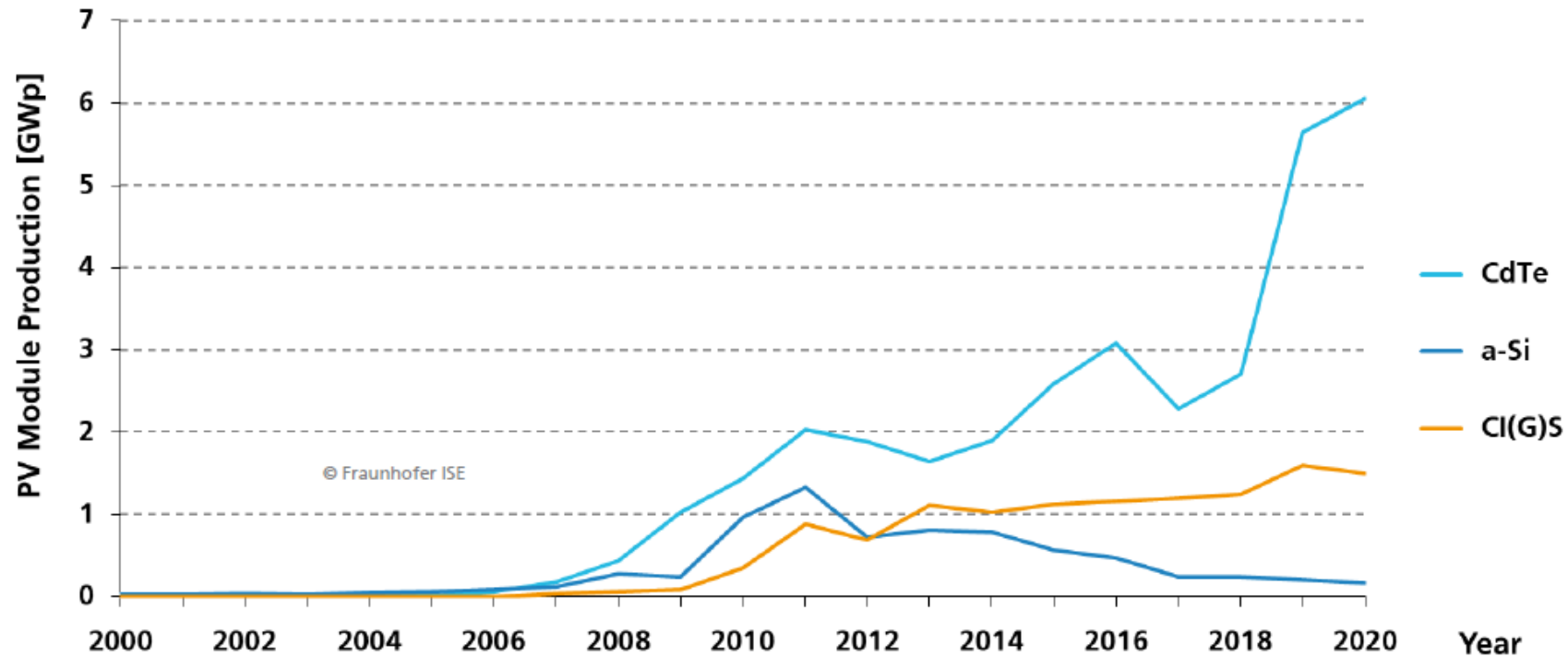
2015 : 22,1 %



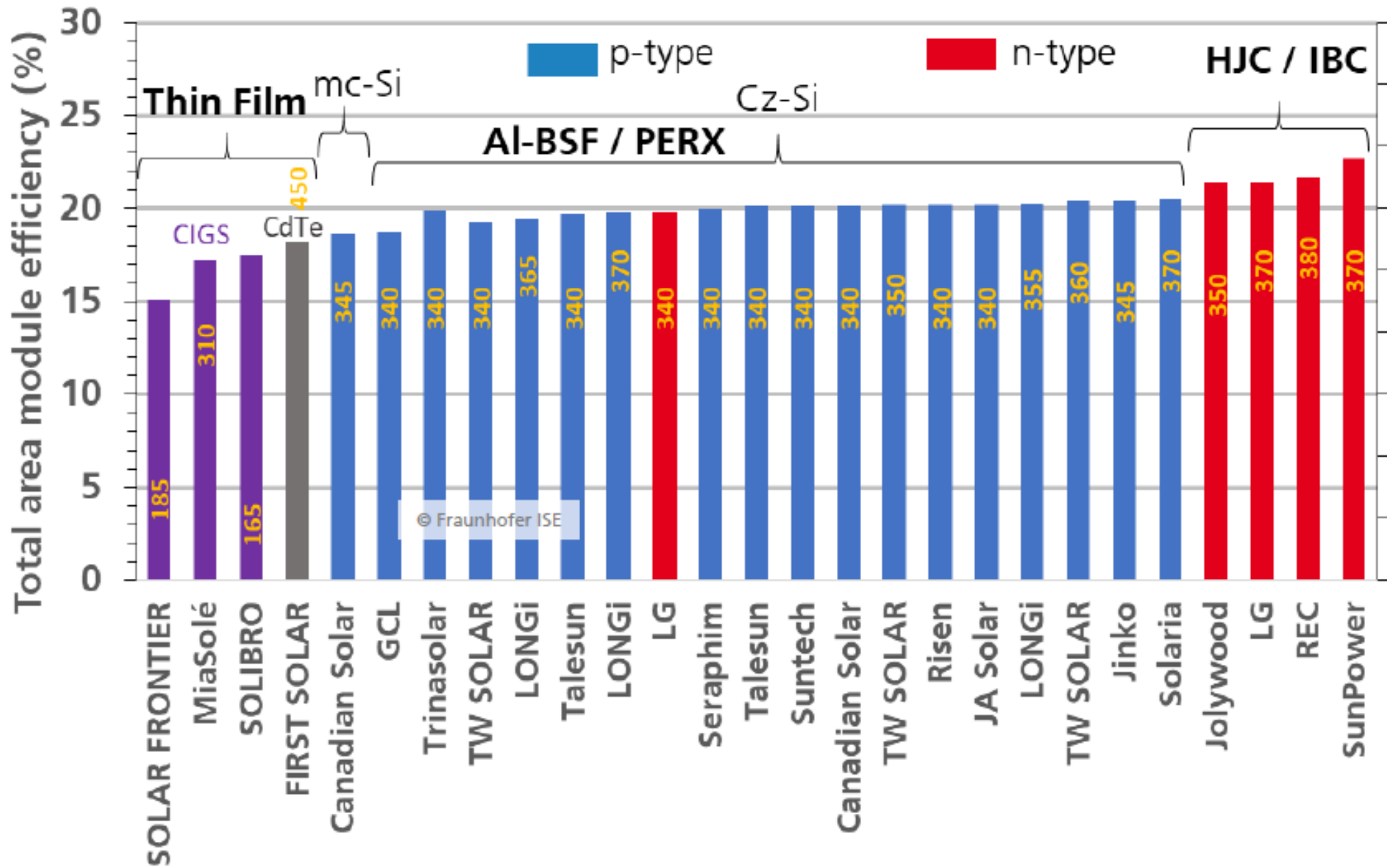
Evolution du marché pour les technologies couches minces

Thin-Film Technologies

Annual Global PV Module Production

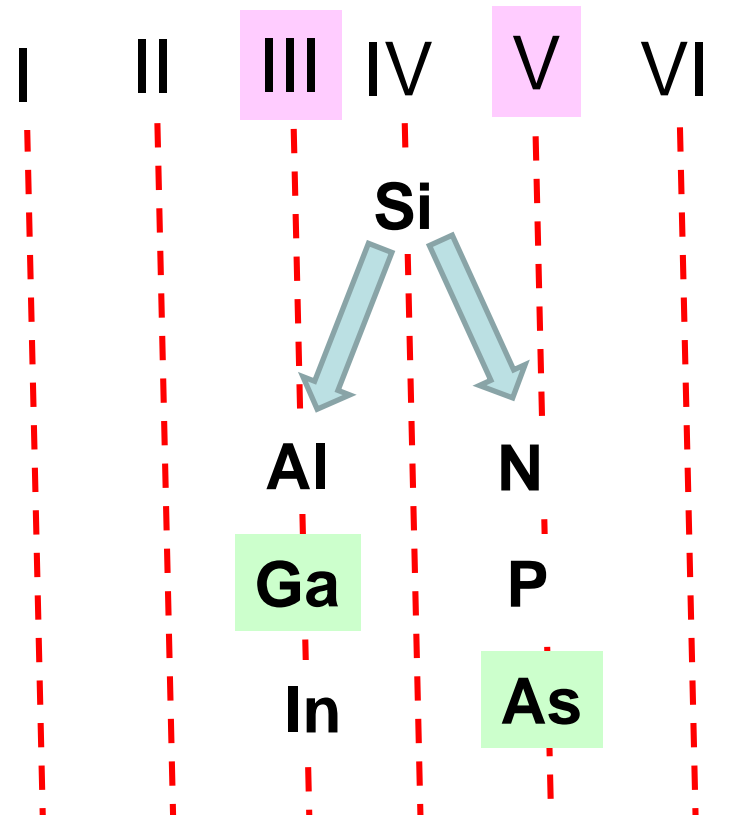


Performances des modules PV commerciaux



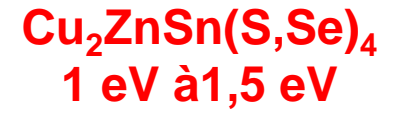
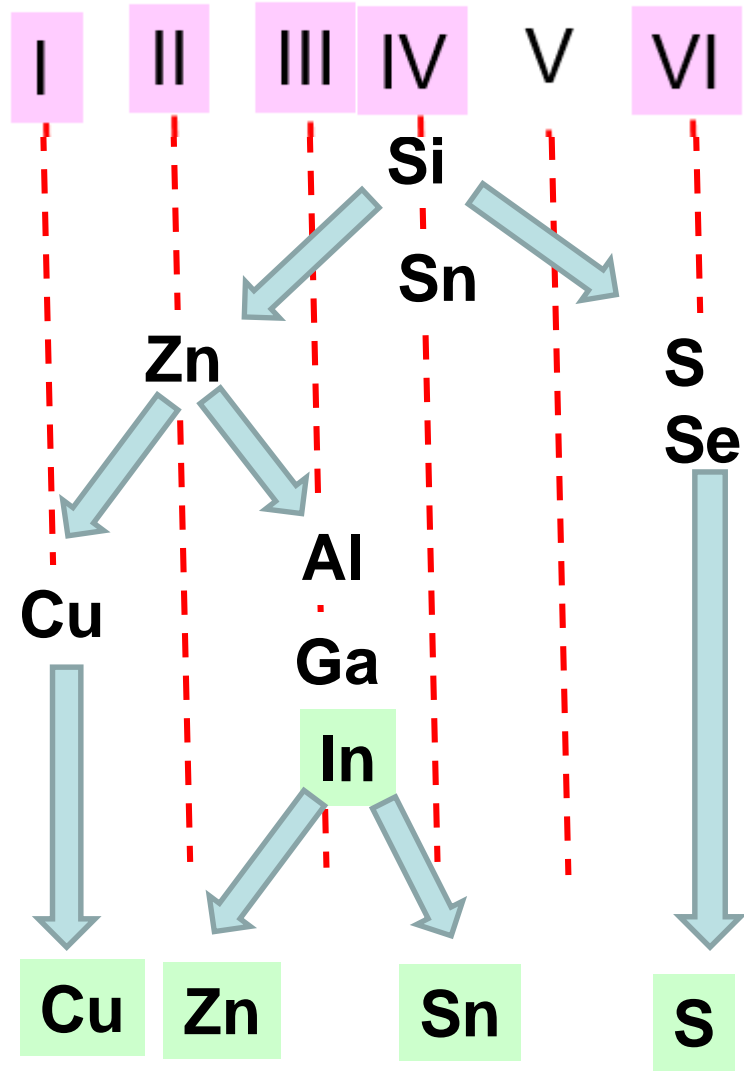
Autres technologies couches minces inorganiques

Les « trois Cinq » :
les « Ferrari du photovoltaïque »



Excellentes performances (28,9%)
Mais...très sensible aux défauts !
→ Croissance épitaxiale par MBE ou CVD
→ Rôle de l'ionicté des liaisons plus faible ?

Les KESTERITES : CZTS



Futur du CIGS ?
Rendements encore faibles : 12%
Mais : éléments abondants
Non toxiques
Physicochimie très complexe...
En cours d'évolution

Multiples autres possibilités
« Materials genomics »

De la complexité naît la simplicité

Transparents annexes

Analyse de cycle de vie technologie CIGS : cas de l'Indium

L'indium est à l'opposé du silicium : il est rare et critique, pourtant sous forme de couches minces son utilisation est possible, voir l'étude ci dessous

CIGS Thin Film Photovoltaics for EU's prosperity, energy transition and enabling net zero emission targets

Indium production in Europe is sufficient for more than 100 GW per year PV production with potential to meet TW challenges in a cost effective manner

Coordinated developments are essential for industrialisation and applications of CIGS PV

EU can reach a leading position in future markets

Source: <https://cigs-pv.net>
Contact: E-Mail: info@cigs-pv.net



https://cigs-pv.net/wortpresse/wp-content/uploads/2021/07/Indium_Availability_for_CIGS_thin-film_solar_cells_in_Europe.pdf

pv magazine

Indium supply not an issue for CIGS industry

Scientists Ayodhya Tiwari and Daniel Lincot recently spoke to **pv magazine** about the future of copper indium gallium selenide solar tech, which could play a key role in providing flexible, lightweight products in the building-integrated PV segment.

AUGUST 11, 2021 **EMILIANO BELLINI**

MODULES & UPSTREAM MANUFACTURING TECHNOLOGY AND R&D EUROPE

<https://www.pv-magazine.com/2021/08/11/indium-supply-not-an-issue-for-cigs-industry/>

Daniel Lincot, Collège de France, 23/02/2022